

دراسة تحليلية لنماذج أداء الرصف الطرقى لعينة من الطرق في سوريا*

** المهندس معلا الخضر

الدكتور محمد بشير حسون****

الأستاذ الدكتور أندراوس سعود***

الملخص

تعد نماذج التنبؤ بأداء الرصف الطرقى في نظم إدارة الصيانة بمنزلة المحرك الأساسي لتحليل المعلومات وإعطاء تقارير عن أداء شبكة الطرق ونوعية أعمال الصيانة المطلوبة، تحتوي أنظمة إدارة الصيانة على عدة نماذج رياضية وإحصائية أهمها نماذج الأداء ونماذج استبانت العيوب في المستقبل. فالاتجاه العام لنماذج الأداء يعتمد على نوعية طبقات الرصف وطريقة تنفيذها وعلى نوعية المرور، كما يعتمد على العوامل البيئية من حرارة وأمطار وتصريف مياه [8]. وللحفاظ على شبكة الطرق بحالة جيدة ومريحة، يجب صيانتها وإعادة تأهيلها. بالوقت والطريقة المناسبين، وغالباً ما تكون الصيانة مطلوبة لتحقيق مستوى خدمة جيد للطرق السريعة وخاصة مستوى جودة الرصف [15].

إن الهدف الأساسي للبحث يتلخص في إجراء دراسة تحليلية لمعرفة سلوك الرصف بتأثير عدة عوامل محددة لاستبانت نماذج التنبؤ بأداء الرصف لعينة نموذجية ممثلة لشبكة طرق الجمهورية العربية السورية عن طريق حصر وجد الأضرار في سطح الرصف فضلاً عن مسح وتقييم وعورة الطرق أو عدم الاستوانية التي تعبّر عن عدم راحة القيادة، وقد أدت الدراسة إلى معرفة علاقة حالة الرصف بالعوامل التي تؤثر على تدهورها، وذلك بوجود المتغيرات الفعالة ومدى تأثيرها على حالة الرصف، وقد تم استخدام النماذج الإحصائية التجريبية لدراسة تلك النماذج التي تعتمد على اعتبار أن دليل حالة الرصف (PCI) أو دليل مستوى الخدمة الحالي (PSI) كعوامل أساسية، ومتغيرات العمر، ونوع الصيانة، وحجم المرور، هي العوامل الثانوية التي تؤثر في تغيير حالة الرصف مع تقدم الزمن. وبالتالي تم استبانت مجموعة من النماذج الرياضية للتنبؤ بحالة الرصف مع اعتبار نوع أو صنف الطريق وطريقة الصيانة التي أجريت على تلك الطرق. ومن ثم تم اقتراح استخدام نموذج التنبؤ الذي يربط عمر الرصف ونوع الصيانة كنموذج مفضل للتنبؤ بحالة سلوك الرصف مع الزمن. هذه النماذج تساعدها في التخطيط لأعمال الصيانة الأكثر فاعلية من الناحية الاقتصادية. ويتم تحقيق

* أعد البحث في سياق رسالة الدكتوراه للمهندس معلا الخضر بإشراف الدكتور المهندس اندراوس سعود ومشاركة الدكتور المهندس محمد بشير حسون

** مهندس ماجستير في النقل والمواصلات من جامعة دمشق

*** دكتوراه في الهندسة المدنية أستاذ في قسم هندسة النقل والمواصلات بكلية الهندسة المدنية جامعة دمشق

**** دكتوراه في الهندسة المدنية مدرس بمتحف الطريق للتدريب الرياض السعودية

أهداف البحث من خلال عرض ما قام به الباحث من جمع للبيانات من مصادرها و القيام بالمسح الميداني لأضرار الرصف والوعورة على الطرق، لمعرفة ودراسة مستوى خدمة الطريق الحالى. ثم مقارنة النماذج والتأكد من صلاحية نتائجها بالمقارنة بين القيم المحسوبة والفعالية وتبيين أنها جيدة ومتقاربة. حيث تم استخدام ثلاثة أصناف من الطرق وتم دراسة نوعين من الصيانة المستخدمة، حجم المرور، والعمر، والظروف البيئية لمعرفة تأثير تغيراتها على حالة الرصف .

الطرقية، وما جُمعَ من بيانات من قبل الباحث.

تمهيد (Abstract)

الكلمات المفتاحية (Key Words):

| الرمز | إنكليزي | عربي |
|-------|-------------------------------|--------------------------------|
| PCI | Pavement Condition Index | دليل حالة الرصف |
| PSI | Present Serviceability Index | دليل مستوى الخدمة الحالى للرصف |
| IRI | International Roughness Index | دليل الوعورة العالمي |
| | Prediction Models, | نماذج التنبؤ |
| | Pavement Performance | أداء حالة الرصف |

1 - مقدمة (Introduction):

تعد النماذج الرياضية في نظم صيانة الطرق بمنزلة المحرك الأساسي لتحليل المعلومات وإعطاء تقارير عن أداء الشبكة ونوعية أعمال الصيانة المطلوبة. أهم تلك النماذج هي نماذج الأداء ونماذج تطور سلوك الرصف مع الزمن، وتختلف أنظمة إدارة صيانة الطرق من ناحية التعبير عن أداء الطرق بتأثير عوامل الزمن والتشغيل والصيانة والبيئة، وعلى أساس نماذج الأداء تلك يتم تحديد المستويات التي يجب أن تتم عندها عملية الصيانة حسب نوعها ويعتمد الاتجاه العام لنماذج الأداء على نوعية طبقات الرصف وطريقة تنفيذها، وعلى نوعية المرور والعوامل البيئية من حرارة وأمطار وتصريف مياه [8].

فمثلاً إدارة الطرق المالزية طورت نموذج التنبؤ بعمق التحدد مستخدمة عوامل الوعورة وحجم المرور اليومي والرقم الإنثائي لطبقات الرصف [16]. وبرنامج البحث الإستراتيجي (SHRP) وبرنامج أداء الرصف طويل الأجل قام بدراسة نماذج رياضية لموقع متعددة وتخلف بطريقة الإنشاء وخلص إلى أن هناك تأثيراً كبيراً لمواد الإنشاء وسمكافة طبقات التأسيس في التحدد الطولي ومن ثم سلوك أداء

تحتاج طبقات رصف الطرق إلى الصيانة نتيجة لتأثير المرور، والظروف الجوية المحيطة، وسوء تفيذ أعمال الطرق في أثناء الإنشاء وكذلك أعمال الصيانة. لذلك ازداد الاهتمام بين هيئات الطرق بأنظمة إدارة الصيانة نظراً للحاجة الماسة لذلك، بعد أن تقادمت شبكات الطرق مع الزمن فقد ازدادت احتياجات صيانتها وتصرف معظم هيئات الطرق ميزانيات الصيانة بشكل غير مبرمج وغالباً تعتمد على الخبرة العامة، مما أدى إلى صرف الميزانيات بغير توقيتها المناسب، ونظراً إلى قلة الموارد المالية التي تقعى بمتطلبات الصيانة كان لا بد من تطوير نماذج التنبؤ بأداء الرصف للتوصيل إلى معرفة حالة الرصف عند عمر معين، ومن ثم تحديد الصيانة المناسبة والوقت المناسب لإجرائها [8]. مما يؤدي إلى التوزيع الأمثل لميزانيات الصيانة على شبكة الطرق لتعطي أفضل حالة مطلوبة من أجل راحة القيادة وحسن الاستثمار.

تعد نماذج أداء الرصف من الوسائل المهمة التي تساعد إدارة الصيانة على اتخاذ القرار الصائب في الوقت المناسب لإجراء الصيانة على الطرق، وتسعى أغلب هيئات الطرق في الوقت الحاضر لتطوير نماذج التنبؤ بأداء الرصف لتكون الأداة المهمة في اتخاذ قرارات الصيانة مثل نماذج التنبؤ بأداء الرصف في إنديانا [18] وطرق مدينة الرياض [1] وغيرها الكثير من النماذج.

الهدف الأساسي لهذا البحث هو إجراء دراسة تحليلية للتنبؤ بأداء الرصف للطرق التابعة لوزارة النقل في سوريا وذلك باستخدام البيانات الفعلية التي تم الحصول عليها من المؤسسة العامة للمواصلات

المناخية، التصميم الأولي وآخر صيانة أجريت [18]. في أغلب الدراسات السابقة كانت العوامل البيئية ونوع سطح الرصف وعمر الرصف وحجم المرور الأكثر استخداماً في دراسة تأثيرها على معدل التدهور. وتعد النماذج التجريبية العملية هي الأكثر فعالية وسهولة وبساطة لتطوير نماذج التنبؤ بالبيانات المتوافرة. وعلى كل حال فإن وجود البيانات التاريخية للrucf يساعد في تقسيم الطرق إلى أجزاء متجانسة والتي غالباً ما تكون ضرورية في تطوير النماذج [12]. وفي النماذج الاحتمالية كانت عملية التنبؤ بحاله الرصف تعتمد على الحالة الراهنة للrucf.

على كل حال فإن تطوير مصفوفة الاحتمالات لانتقال الطريق من حالة إلى أخرى يعتمد اعتماداً كبيراً على الخبرة الهندسية في ذلك. فالنماذج الجزئية لدراسة العوامل التي تؤثر في الرصف تبين أنها مفيدة في دراسة كل عامل على حدة ومعرفة كيف يؤثر في الرصف. أمّا نماذج التنبؤ التي تدرس تأثير عيوب الرصف في حالة الرصف تبين أنها جيدة ومفيدة في تحديد سلوك الرصف تحت تأثير ظهور تلك العيوب [15].

هذا ويعد سلوك أو تدهور حالة الرصف من الأمور المعقدة والصعبة، ولا تقتصر على السلوك الإنسائي لطبقات الرصف فقط وإنما تتضمن أيضاً الكثير من أضرار الرصف الوظيفية (السطحية) [17] التي تكون نتيجة للتدخل المعاقد بين الحمولات المرورية والظروف البيئية المحيطة وطبيعة المواد المستخدمة في الإنشاء أو الصيانة والوقت. ويستخدم تدهور الرصف ليمثل التغيرات التي تحصل في أداء الرصف مع الزمن. وتعد قابلية أو إمكانية الرصف لتحمل متغيرات المرور والظروف البيئية خلال المدة التصميمية للطرق بمنزلة سلوك أو أداء الرصف خلال

الrucf [13]. أما النموذج المطور في نظام إدارة وتطوير الطرق السريعة (HDM-4) فيعتمد على نمذجة التحليل الاقتصادي والتقييم لنفقات صيانة الطريق فضلاً عن التخطيط، والبرمجة، والموازنة، والتقييم وصياغة السياسة لصيانة أفضل. وقد انطلق من تطوير القدرات التقنية لنظام HMD-3. واعتمد على استخدام بيئه معلوماتية وتقنيات حديثه، هذا ولأدوات HDM-4 ثلاثة نتائج [11]: تقنيات لتحسين الاستثمار في الطرق، والنماذج الرياضية للتتبؤ بتدور الطريق، وتأثيرات الأشغال ومنعكستها على مستخدمي الطريق، والهدف هو: التتبؤ بالحالة المستقبلية وتأثيرات الصيانة في الرصف.

إن نماذج التنبؤ في HDM-4 تأخذ بالحسبان المناطق المناخية وأسباب تدهور حالة الرصف أو أسباب ظهور الأضرار في الرصف الإسفلتي التي تؤثر في أداء طبقات الرصف. وقد طورت مدينة تورنتو نماذج التنبؤ لمعامل الاحتكاك لطبقات الرصف المنفذة من الحصويات الخشنة، والخلطات الإسفلتية ذات التدرج المفتوح [10]. وقد صُنفت على أساس نماذج التنبؤ للمناطق ذات التفتت الشديد، وذات التشققات المبكرة. وطبق نظام إدارة الرصف على تلك الظاهرة الفريدة لتدور الرصف، ويتضمن أربع مهام أساسية هي: تقييم سطح الرصف، إنشاء قاعدة البيانات، تطور نماذج التنبؤ، الأولويات والحل الأمثل للتوزيع ميزانية الصيانة. كما أن إدارة الطرق في إنديانا اتخذت من نتائج قياس وعورة الطرق العامل الأساسي في نماذج التنبؤ بأداء الرصف، وكذلك نوع الصيانة أخذ بالحسبان للمقارنة بين أنواع تأثير نوع الصيانة على حالة الرصف الكثير من العوامل أخذت بالحسبان كونها تؤثر في حالة الرصف وهي: عمر الرصف، الحمولات المحورية وحجم المرور، الظروف

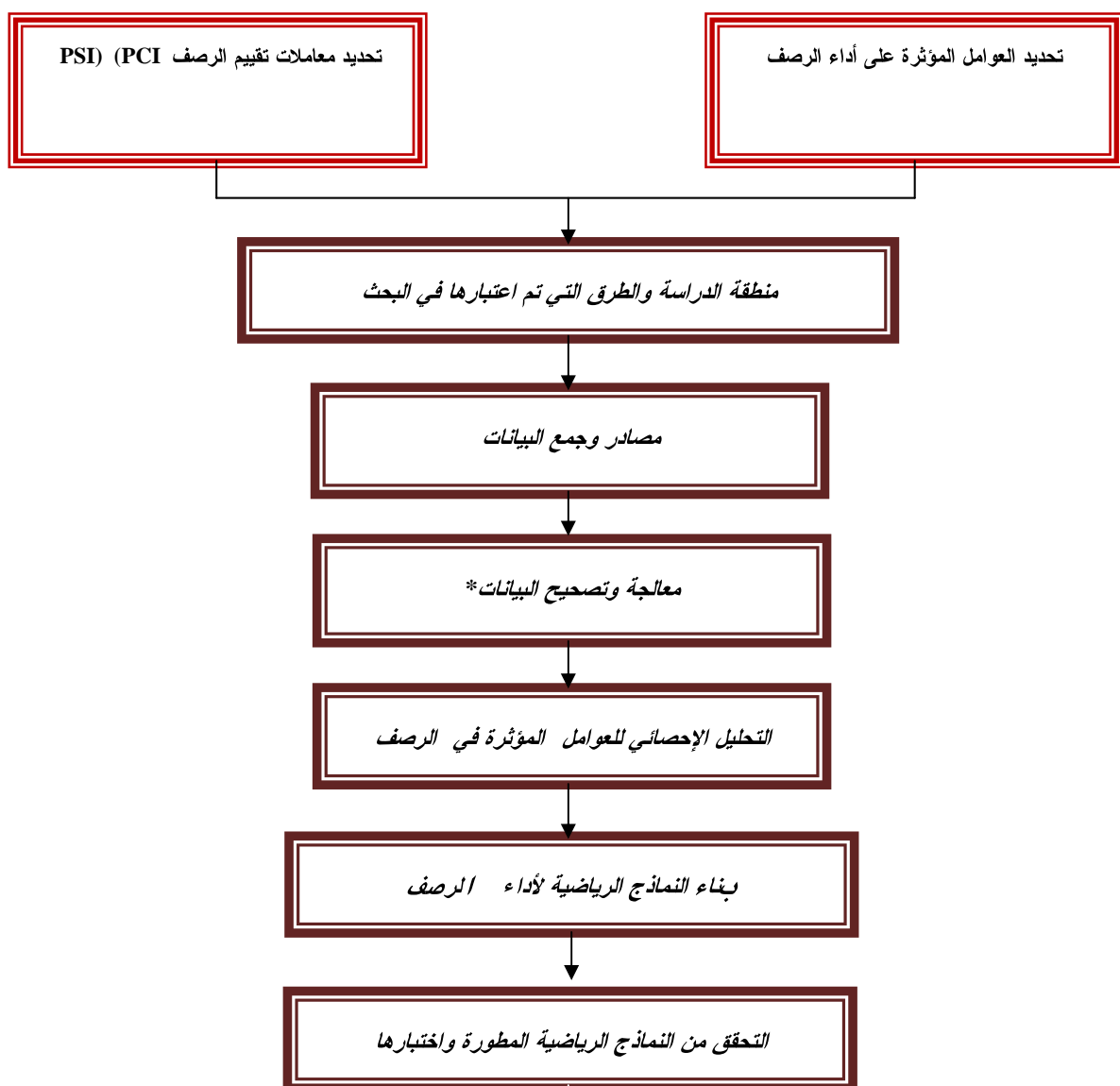
- المراحل والخطوات التالية المبينة في الشكل رقم (1):
- استخدام معايير تقييم أداء الرصف وهي: دليل حالة الرصف (PCI) ومعامل مستوى الخدمة الحالي للrucf (PSI)، لتقييم أداء وسلوك الرصف الحالي.
 - استخدام بيانات حالة الرصف على أساس أنها مقاطع جميعها ذات خصائص واحدة ومختلفة بعامل واحد؛ وذلك لدراسة تأثير تغير ذلك العامل في حالة الرصف في كل مجموعة من القطاعات ذات الصفات والخصائص المتماثلة.
 - عُدّ معامل عمر الرصف أنه عدد السنوات منذ تاريخ إجراء آخر صيانة أو تاريخ الإنشاء في حال عدم تنفيذ أي صيانة.
 - أخذ نوع الصيانة كعامل أساس في التأثير في أداء الرصف كون إجراءات الصيانة المعمول بها هي غالباً إما صيانة علاجية روتينية أو صيانة أساسية بالإضافة طبقة تغطية (إعادة التأهيل).
 - عُدّ معامل حجم المرور على أساس ثلاثة مستويات: خفيف، متوسط، وكبير.
 - الأخذ بالعوامل المؤثرة فقط في حالة الرصف من خلال دراسة تأثير العوامل كلها على حالة الرصف وتحديد العوامل التي لها تأثير فعال فقط، بينما العوامل التي ليس لها تأثير في تطوير نماذج التنبؤ فيتم استبعادها وهذا سوف يظهر من خلال الدراسة الإحصائية.
 - استخدام بيانات عيوب الرصف ومعامل الوعورة لحساب معاملات تقييم الرصف ودليل مستوى الخدمة الحالي (PSI, PCI).

تلك المدة، ولذلك تعد نماذج الأداء لتدبر الرصف من أفضل الأساليب للتتبؤ بحالة الرصف. وهناك العديد من العوامل التي في حال توافرها تؤدي إلى نجاح الوصول إلى نماذج التنبؤ بالدقة المطلوبة [6]. وهذه العوامل هي متوسط حجم المرور السنوي، ونسبة الشاحنات الثقيلة، وأنظمة التصريف، وسمكفات طبقات الرصف، والقدرة الإنسانية لطبقات الرصف ممثلة بالرقم الإنساني أو قدرة تحمل طبقات الرصف فضلاً عن خصائص تصميم الطبقات الإسفالية.

في هذا البحث سيتم دراسة تأثير المتغيرات المختلفة وتحليلها، والتي تم الحصول عليها من مصادر البيانات المختلفة، على سلوك وأداء الرصف لتحديد العوامل المؤثرة في ذلك وتطوير نماذج التنبؤ بأداء الرصف للطرق في سوريا آخذين بالحسبان العوامل المختلفة لثلاثة أنواع من أصناف الطرق، الدولية، الرئيسية والثانوية فضلاً عن حجم المرور ونوع الصيانة التي أجريت على الطرق، وكذلك حالة التصريف الجانبي وطبيعة استخدام الأرضي. و كنتيجة فقد تم إستنبط أربعة نماذج تتبؤ لكل نوع من أصناف الطرق الثلاث وذلك بدلالة عمر الرصف ونوع الصيانة، وتم اختيار أفضل النماذج التي تعطي الدقة الكبيرة لكل صنف من أصناف الطرق. كما درست على عينة الطرق الممثلة لشبكة الطرق المركزية السورية واستخدمت المفاهيم الإحصائية لاختبار صحة البيانات ودقة النماذج المطورة.

2 - المنهجية المتبعة في البحث (Methodology :Plan)

من أجل دراسة سلوك أداء الرصف نتيجة لتغير العوامل المؤثرة فيه، وتطوير تلك النماذج فقد وضعت



الشكل رقم (1): يبين المسار المنطقي لخطة البحث ومنهجيته

* وهي خطوة مهمة للباحثين الذين يتعاملون مع بيانات جمعت من قبل فريق عمل مدرب على ذلك إذ كانت شاذة أو لا تفي.

3 - الهدف من البحث (Research goal)

يتلخص الهدف الأساسي من البحث بإجراء دراسة تحليلية للتتبؤ بأداء حالة الرصف للاستقراء المستقبلي لحالة تدهور الرصف، وذلك بوجود العوامل المؤثرة

بيانات جمعت من قبل فريق عمل مدرب على ذلك إذ بهذه المرحلة يتم تدقيق تلك البيانات لاحتمال وجود الخطأ الشخصي في أثناء القراءة أو النقل، وذلك لأجل إعادة تدقيقها على الواقع ثانية أو استبعادها في حال

دولية وطرق درجة أولى (رئيسة) ودرجة ثانية، وتم اختيارها بحيث تمر المناطق المختلفة مناخياً كلها. ومختلفة في التضاريس الجغرافية كذلك. اهتم البحث ببيانات حالة الطرق وحجم المرور، والظروف المناخية والبيئة المحيطة بالطريق، وتاريخ إنشاء الطريق وأخر صيانة، وكذلك عيوب الرصف التي تعبير عن سلوك طبقات الرصف. وكانت عينة الدراسة ضمن المنطقة الوسطى وطرق من باقي المناطق مثل المنطقة الجنوبية والغربية والشرقية وهي طريق حمص دمشق، طريق حمص طرطوس، طريق حمص حماه، طريق حمص الفوسفات، طريق حمص شنشار القصیر، طريق حمص تمر القديم، طريق حمص مصياف، بعض الطرق في المناطق السياحية.

4-2- مصادر البيانات والمعلومات ورصد أضرار الرصف الشائعة في الموقع (Data Source & Collection)

تم الحصول على البيانات المتوافرة لدى وزارة النقل (المؤسسة العامة للموصلات الطرفية) التي يحتاجها البحث، لعامي 2007 و 2008 [2] وكذلك قام الباحث مع فريق عمل متخصص من فرع المؤسسة بحمص تم تدريبيه لجمع البيانات ورصد أضرار الرصف بالمسح البصري مع بيان تاريخ الإنشاء والصيانة للطرق عينة الدراسة، فضلاً عن بيانات جرد العناصر الأساسية للطرق، والشكلان (2) و (3) يبيحان نموذجين لاستمارات جمع البيانات للعناصر المكونة للطرق والأضرار الأكثر انتشاراً [3]. تم تفريغ وإدخال البيانات في جداول خاصة لتسهيل التعامل معها خلال التحليل وحفظت ضمن جداول بيانات بإعدادات خاصة للتعامل مع البرامج الإحصائية.

المختلفة. وقد أجريت الدراسة لثلاث أصناف من الطرق دولية، ورئيسة، وثانوية ولنوعين من أنواع الصيانة، الروتينية وإعادة التأهيل. إذ تم تجميع البيانات ضمن مجموعات متجانسة ومتتشابهة من القطاعات جميعها ذات خصائص واحدة ومختلفة بعامل واحد؛ وذلك لدراسة تأثير ذلك العامل على حالة الرصف في كل مجموعة متجانسة أو متتشابهة بالعوامل الأخرى كلها.

4- مراحل البحث وخطواته:

لتحقيق أهداف البحث اتبعت الخطوات الآتية:

- 1- تحديد منطقة الدراسة وتحديد عينة الطرق الممثلة لشبكة الطرق السورية.
 - 2- تحديد مصادر البيانات والمعلومات ورصد أضرار الرصف الشائعة في الموقع.
 - 3- معالجة البيانات وتصحيحها.
 - 4- تقييم حالة الرصف وتحديد معامل تقييم حالة الرصف (PCI).
 - 5- دراسة سلوك الرصف بتأثير العوامل المؤثرة المختلفة باتباع طرائق التحليل الإحصائي.
 - 6- تطوير نماذج التنبؤ بحالة الرصف.
 - 7- التتحقق من صحة النماذج ودقتها.
- 4-1- منطقة الدراسة وتحديد عينة الطرق المشمولة بالبحث (Study Zone Area & Road Samples)**
- تعتمد الدراسة على البيانات وصحتها ومدى الدقة في جمعها. جُمعت البيانات لعينة من شبكة الطرق المركزية السورية التي تمثل عينة نموذجية تضم أنواع وأصناف الطرق كلها التي تتألف من طرق

الشكل رقم (2): نموذج فعلى لاستمارة جمع البيانات استخدم بفرع المؤسسة العامة للمواصلات الطرافية لجمع البيانات

نموذج رقم(3) استماره الجرد الطرقي

أسماء لجنة الحرد بم.أسامة خليفة

رقم الطريقة: حمص - دمشق

اسم المحافظة: حمص

التاريخ: 2007/6/16

**الشكل رقم (3): نموذج جمع بيانات أضرار الرصف استخدم بفرع المؤسسة العامة للمواصلات الطرقية
بمحص لجمع البيانات**

نموذج رقم (2)

مسح حالة الطريق الاسفلتي

| | | | | | | |
|------------|------|---------------------|------|-----------|-----------|-------------------------------------|
| إلى | | | | | | |
| إلى الكم: | 23 | من الكم: | 2 | مقطع رقم: | | اسم الطريق ورقمه : حمص - حماده /45/ |
| حالة الجو: | | الطول الكلي للطريق: | 23كم | التاريخ: | 2008/6/16 | اسم المساح ن.م. فادي صطوف |
| عرض حارة | | عدد الحارات: | 2 | | | |
| المرور: | 3.75 | | | | | نوع الطريق : متعدد الارات |

| ملاحظات | % الكثافة | متر مربع | السطح | الطول (م) | درجة الشدة | نوع الطريق | م |
|---|-----------|----------|-------|-----------|------------|------------|-------------------------------------|
| | | | | | عالٍ | متوسط | قليل |
| | | | | | | لابوجد | عيوب ناتجة عن تشغق الرصف |
| | | | | | | | الشقوق التنساحية 1 |
| | 20 | | 2x10 | | | | الشقوق البلاوكية 2 |
| | 8 | | 4x2 | | | | شقوق حفافات الرصف 3 |
| | | | | | | | الشقوق الطولية والعرضية 4 |
| عرض 30 سم | | 3 | | 10 | | | الشقوق الانزلاقية 5 |
| | | | | | | | عيوب ناتجة عن تشوه استواء سطح الرصف |
| | | | | | | | التموجات 1 |
| | | | | | | | الهبوط 2 |
| | 10 | 5x2 | | | | | تكوم الرصف في الاتجاه العرضي 3 |
| | | | | | | | الأحاديد 4 |
| | | | | | | | انفصال الرصف 5 |
| | | | | | | | التفعر والتحدب 6 |
| | | | | | | | هبوط البنكريت عن الرصف 7 |
| | | | | | | | عيوب ناتجة عن سطح رصف زلق |
| | 6 | 30x20 | | | | | تضيج الاسفلت 1 |
| | | | | | | | برى الزكام 2 |
| | | | | | | | عيوب ناتجة عن تفكك سطح الرصف |
| | | | | | | | تأكل وتطاير سطح الرصف 1 |
| أصلحت الحفر كلها بعد صيانة طارئة وجارية لمحاور المحافظة | | | | | | | الحفر 2 |
| | | | | | | | الرقع الاسفلتية 3 |

الدراسة هذه، وذلك بعد أن جمعت بيانات أضرار الرصف من الواقع ومن البيانات التي تم الحصول عليها من المؤسسة العامة للمواصلات الطرقية كما في الشكلين رقم (2 و3) اللذين يبيحان بيانات الطرق والأضرار والتي استخدمت من قبل فرق العمل في فرع المؤسسة بحمص. وفيما يلي شرح لطريقة حساب دليلي حالة الرصف (PCI و PSI).

4-1 دليل حالة الرصف (PCI)

هو دليل لمجموعة من العيوب تبلغ تسعه عشر عيباً. يحسب هذا الدليل من خلال تحديد نوع العيب، شدة العيب وكثافة انتشار ذلك العيب ضمن كل عينة مدرسة. ومن ثم يمكن تقييم أي وصلة من الطريق باستخدام التقدير الآتي لحالة الرصف [9]:

$$\text{دليل حالة الرصف (PCI)} = 10 - 0 \text{ منها} \times$$

$$\begin{array}{ll} \text{دليل حالة الرصف (PCI)} & 10 - 25 = \\ \text{خطير} & 10 - 25 = \\ \end{array}$$

$$\begin{array}{ll} \text{دليل حالة الرصف (PCI)} & 25 - 40 = \\ \text{سيئ جداً} & 25 - 40 = \\ \end{array}$$

$$\begin{array}{ll} \text{دليل حالة الرصف (PCI)} & 40 - 55 = \\ \text{سيئ} & 40 - 55 = \\ \end{array}$$

$$\begin{array}{ll} \text{دليل حالة الرصف (PCI)} & 55 - 70 = \\ \text{مقبول} & 55 - 70 = \\ \end{array}$$

$$\begin{array}{ll} \text{دليل حالة الرصف (PCI)} & 70 - 85 = \\ \text{مقنع} & 70 - 85 = \\ \end{array}$$

$$\begin{array}{ll} \text{دليل حالة الرصف (PCI)} & 85 - 100 = \\ \text{جيد} & 85 - 100 = \\ \end{array}$$

ويحسب بالمعادلة التالية رقم (1) والواردة في دليل بيفر لحساب دليل حالة الرصف [15]:

Deduct Point (distresses) (1) $\text{PCI}=100-$

4-2 دليل مستوى الخدمة الحالى (PSI)

هو مؤشر الأداء العام لطبقات الرصف ويعبر عن جودة القيادة أو راحتها على سطح الطريق، كما أنه مؤشر أو بيان لحالة وعورة السطح أو عدم الاستوائية

4-3 تقييم البيانات ومعاجتها (Data Evaluation)

تضمنت هذه المرحلة من العمل مراجعة البيانات وتدقيقها وحذف المعلومات التي نظهر شذوذًا واضحًا. وذلك لأن البيانات غير المنطقية قد تكون نتيجة لخطأ شخصي بتسجيل البيانات أو خطأ في الإدخال ويمكن أن تكون نتيجة لسوء ما في التعامل مع البيانات. والمرحلة التي تليها هي تصنيف البيانات وترتيبها وفرزها حسب نوع الطريق وحسب حجم المرور وعمر الطريق ونوع الصيانة. الجدول رقم (1) يبين أطوال الطرق المدرسة وعدد الوصلات التي درست.

الجول رقم (1): بيانات أطوال الطرق المدرسة

| م | أنواع الطرق | عدد الوصلات | الطول (كم) |
|---|----------------|-------------|------------|
| 1 | الطرق الدولية | 846 | 3702 |
| 2 | الطرق الرئيسية | 155 | 705 |
| 3 | الطرق الثانوية | 152 | 705 |
| 4 | الإجمالي | 1153 | 5112 |

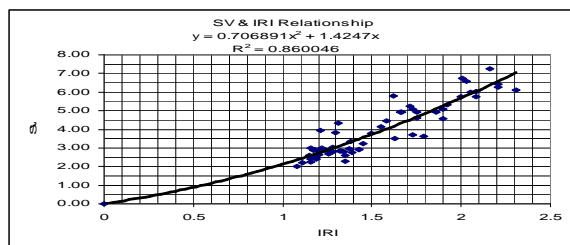
4-4 تقييم حالة الرصف وتحديد معايير تقييم الحالة (Pavement Evaluation and Identifying the Condition Indices):

الخطوة المهمة في تقييم حالة الرصف هي تحويل بيانات أضرار الرصف إلى معايير أو أدلة للتعبير عن حالة الرصف بمقاييس عددي أو تقديرى. تسمى تلك الأدلة، مؤشرات أداء الرصف . ويتم تقييم الرصف بعد ذلك بناءً على المتغيرات أو العوامل التي تؤثر على مؤشرات أداء الرصف . ومؤشرات أداء الرصف التي استخدمت في تقييم حالة الرصف هي دليل حالة الرصف (PCI)، ودليل مستوى الخدمة الحالى (PSI). حسب تقييم حالة الرصف لكل الطرق ضمن نطاق

رومداس (Romdas) [4]. المعادلة التالية والرسم البياني في الشكل رقم (4) توضح العلاقة بين المؤشرين، والجدول رقم (2) يبين دراسة تلك العلاقة التي تم القيام بها خصيصاً لهذا البحث من واقع البيانات التي جمعت:

$$SV = 0.706891 \times (IRI)^2 + 1.42474 \times (IRI)$$

$$R^2 = 0.86 \quad \dots \quad (3)$$



الشكل رقم (4): منحنى العلاقة بين دليل الوعورة والتباين في الميل الطولي [5]

الجدول رقم (2): يبين بيانات دراسة العلاقة بين دليل الوعورة والتباين في الميل الطولي [5]

| SV from Equation | SV | IRI m/km | POINT |
|------------------|---------|----------|-------|
| 6.02 E-06 | 5.77E- | 2.08 | S3 |
| 7.06 E-06 | 6.10E- | 2.31 | S4 |
| 5.72 E-06 | 6.73E- | 2.01 | S5 |
| 5.81 E-06 | 6.58E- | 2.03 | S6 |
| 5.10 E-06 | 4.93E- | 1.86 | S7 |
| 3.91 E-06 | 4.14E- | 1.55 | S8 |
| 3.55 E-06 | 3.21E- | 1.45 | S9 |
| 6.38 E-06 | 7.25E- | 2.16 | S10 |
| 3.28 E-06 | 2.96E- | 1.37 | S11 |
| 2.92 E-06 | 2.7E-06 | 1.26 | S12 |
| 2.73 E-06 | 2.63E- | 1.2 | S13 |
| 3.21 E-06 | 2.29E- | 1.35 | S-2 |
| 3.18 E-06 | 2.81E- | 1.34 | S-3 |
| 2.73 E-06 | 2.80E- | 1.2 | S-4 |
| 3.73 E-06 | 3.79E- | 1.5 | S-5 |
| 4.20 E-06 | 3.52E- | 1.63 | S-6 |
| 4.35 E-06 | 4.93E- | 1.67 | S-7 |
| 5.26 E-06 | 5.08E- | 1.9 | S-8 |
| 4.58 E-06 | 5.10E- | 1.73 | S-9 |
| 5.89 E-06 | 5.97E- | 2.05 | S-10 |
| 4.82 E-06 | 3.62E- | 1.79 | S-11 |
| 4.02 E-06 | 4.44E- | 1.58 | S-12 |
| 5.68 E-06 | 5.76E- | 2 | S-13 |
| 6.60 E-06 | 6.43E- | 2.21 | S-14 |
| 4.58 E-06 | 3.70E- | 1.73 | S-15 |

ويعتمد على الوعورة ومقدار التشققات وعمق التخدد ويعبر عنه بدرجات قياس مستوى الخدمة كما يأتي:

دليل مستوى الخدمة الحالي (PSI) = 0- سيء جداً

دليل مستوى الخدمة الحالي (PSI) = 1- سيء

دليل مستوى الخدمة الحالي (PSI) = 2- مقبول

دليل مستوى الخدمة الحالي (PSI) = 3- جيد

دليل مستوى الخدمة الحالي (PSI) = 4- جيد جداً

ويحسب بالمعادلة التالية والمطورة ضمن قطاع آشتو التجاري [19] .

$$PSI = 5.03 - 1.91 \log(1+SV) - 0.01(C+P) \frac{1}{RD^2} - 1.38 \quad \dots \quad (2)$$

إذ:

:SV : Slope Variance (مربع الانحراف القياسي) في الميل الطولي لكل قدم على استقامة خط و هي على سطح الطريق، في مسار العجلات، مواز لمحوره.

C : مساحة التشققات بالأقدام المربعة ، لكل 1000 قدم مربع من سطح الرصف .

P: مساحة الرقع، بالأقدام المربعة لكل 1000 قدم مربع من سطح الرصف .

RD: متوسط عمق التخدد بالبوصة.

ولما كان مؤشر الوعورة المعتمد حالياً في نظام إدارة الصيانة هو مؤشر الوعورة العالمي (IRI)، وللاستفادة من نموذج آشتو في تقدير الأداء الحالي والأداء المستقبلي، فقد استبطنت علاقة بين تباين الميل (SV) ومؤشر الوعورة العالمي (IRI) بحساب الأول من قياسات المقاطع الطولية (Profiles) لسطح الرصف في عدة طرق خالية من التشقق والتخدد والرقع، أما الثاني فتم حسابه آلياً، من قياسات المقاطع نفسها، بمعدات مسح الطرق وبجهاز القياس نوع

$$\text{PSI} = 5.03 - 1.91 \log [1 + 0.706891(\text{IRI})^2 + 1.42474(\text{IRI})] - 0.01 \cdot (\text{C})^{1/2} - 1.38 (\text{RD})^2 \dots \quad (4)$$

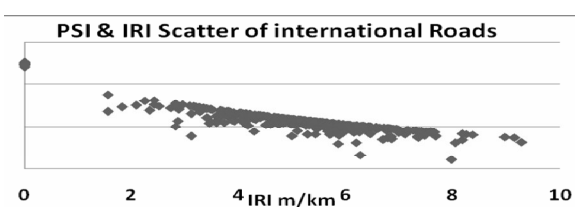
حيث (c) في هذه العلاقة هي النسبة المئوية للشققات بالقطع المدروس

3- دراسة العلاقة بين دليل مستوى الخدمة

Rut, Crack SV, IRI Area, والعوامل المؤثرة (PSI)

من خلال تمثيل البيانات للعلاقة بين مستوى الخدمة والمتغيرات المؤثرة به نجد أن هناك تأثيراً كبيراً للوعورة في قيمة مستوى الخدمة وبعد تأثير أساس كما في الشكل رقم (5) وللتتأكد من ذلك التأثير فقد درست العلاقة بين دليل مستوى الخدمة وقياسات الانحرافات الأفقيّة للطريق، أمّا تأثير الشقّقات على مستوى الخدمة فهو متغير ويؤثر في مستوى الخدمة لأن الشقّقات من العيوب الأساسية المنتشرة على شبكة الطرق في سوريا.

| الحالى كما يأتي: | SV from Equation | SV | IRI m/km | POINT |
|------------------|------------------|--------|----------|-------|
| | 2.60 E-06 | 2.99E- | 1.16 | S-16 |
| | 3.05 E-06 | 3.80E- | 1.3 | S-17 |
| | 2.76 E-06 | 3.96E- | 1.21 | S-18 |
| | 2.79 E-06 | 3.00E- | 1.22 | S-19 |
| | 2.67 E-06 | 2.91E- | 1.18 | S-20 |
| | 2.60 E-06 | 2.26E- | 1.16 | S-21 |
| | 2.60 E-06 | 2.39E- | 1.16 | S-22 |
| | 2.63 E-06 | 2.87E- | 1.17 | S-23 |
| | 3.48 E-06 | 2.92E- | 1.43 | S-24 |
| | 2.98 E-06 | 2.81E- | 1.28 | S-25 |
| | 3.31 E-06 | 3.37E- | 1.38 | S-27 |
| | 4.16 E-06 | 5.80E- | 1.62 | S-28 |
| | 2.98 E-06 | 3.02E- | 1.28 | S-29 |
| | 4.31 E-06 | 4.93E- | 1.66 | S-31 |
| | 6.60 E-06 | 6.27E- | 2.21 | S-32 |
| | 4.66 E-06 | 4.63E- | 1.75 | S-33 |
| | 3.21 E-06 | 2.59E- | 1.35 | S-34 |
| | 5.26 E-06 | 4.56E- | 1.9 | S-35 |
| | 3.11 E-06 | 2.82E- | 1.32 | S-36 |
| | 2.85 E-06 | 2.86E- | 1.24 | S-37 |
| | 2.45 E-06 | 2.19E- | 1.11 | S-38 |
| | 2.36 E-06 | 2.00E- | 1.08 | S-39 |
| | 2.70 E-06 | 2.38E- | 1.19 | S-40 |
| | 2.57 E-06 | 2.61E- | 1.15 | S-41 |
| | 3.35 E-06 | 2.78E- | 1.39 | S-42 |
| | 3.48 E-06 | 2.92E- | 1.43 | S-43 |
| | 4.50 E-06 | 5.23E- | 1.71 | S-44 |
| | 3.08 E-06 | 4.32E- | 1.31 | S-45 |
| | 2.67 E-06 | 2.54E- | 1.18 | 1 |
| | 0.00 | | 0 | |



الشكل رقم (5): منحنى العلاقة بين دليل مستوى الخدمة

الحالى ودليل الوعورة لعينة المدروسة [5]

يبين الشكل رقم (4) المنحنى البياني لتباين الميل (SV) بدلالة مؤشر الوعورة العالمي (IRI) كما بين الشكل رقم (5) المنحنى البياني لدليل مستوى الخدمة الحالى (PSI) ودليل الوعورة العالمي (IRI) لعينة المدروسة، ومن هذين الشكلين نستنتج إمكانية استخدام علاقه حساب PSI رقم (4) التي أعيد تشكيلها من العلاقة(2) وبدلالة دليل الوعورة العالمي بدلاً من تباين الميل، لتقييم الرصف ومن ثم في نماذج التبؤ بحالة الرصف.

نظراً إلى قلة مساحة الرفع وقلة تأثيرها في قيمة المؤشر (واحد بالمئة مضروباً بالجذر التربيعي لمساحة الرفع) فقد أسقطت من المعادلة، كما استبعض عن مساحة الشقّقات (C) في معادلة مؤشر الخدمة الحالى (مساحة الشقّقات بالقدم المربع لكل 1000 قدم مربع من سطح الطريق) بالنسبة المئوية لمساحة انتشار الشقّقات التي تم الحصول عليها من البيانات الخاصة بالمؤسسة العامة للمواصلات الطرقيّة في سوريا إذ إنها نسبة مئوية من مساحة المقطع المدروس، وقد عولجت البيانات في أثناء استخدامها في التحليل لتتناسب مع متطلبات المعادلة علمًا بأن هذا لا يؤثر في قيم المتحولات الرياضية للمعادلة. وبالتعويض عن (SV) من المعادلة(3) بالمعادلة(2) تصبح المعادلة التي تستخدم لحساب مستوى الخدمة

4-4-2- عمر الرصف (Pavement Age) : يرتبط تدهور حالة الرصف جزئياً بالزمن أو عمر الرصف. فبمرور الزمن، يزداد تصلب الإسفلت وتقادمه، ومن ثمّ يصبح أكثر عرضة للتلف وحدوث التشغقات. عند تطوير نماذج التنبؤ بأداء الرصف، فإن عمر الرصف يعتبر من تاريخ الإنشاء أو من تاريخ آخر صيانة أجريت. ولهذا جمعت الوصلات بناء على فئات عمر الرصف حسب الآتي:

| | | | |
|------------------|--------|---------|-----------|
| المجموعة الأولى | 3 | 0 سنوات | جديد جداً |
| المجموعة الثانية | 7 | 3 سنوات | جديد |
| المجموعة الثالثة | 10 - 7 | 7 سنوات | متوسط |
| المجموعة الرابعة | < 10 | سنوات | قديم |

الجدول رقم (4) يبيّن قيمة متوسط تقييم حالة الرصف والوعورة حسب توزع الفئات العمرية لأصناف الطرق. ونجد أن معدل التدهور لكل مؤشر يكون متناسباً طرداً في حين مؤشر الوعورة يتباين عكساً مع حالة الطرق وهي علاقة منطقية تدل على أن البيانات تناسب استنتاج نماذج التنبؤ بحالة الرصف.

قيمت حالة الرصف العامة وذلك حسب التقسيم الإداري للشبكة، والمقطع الواحد بطول واحد كيلومتر تقريباً. وكذلك تم التقييم حسب العوامل المختلفة كما في الفقرات التالية التي تبين متوسط تقييم حالة الطرق.

4-4-4- التقييم العام للطرق حسب العوامل المختلفة:

4-4-1- التقييم العام للطرق حسب التصنيف الإداري (General Pavement Evaluation):

صنفت المقاطع حسب تصنيف الطرق دولية، رئيسية وثانوية، ومن ثمّ حسب معدل تدهور الطرق حسب تصنيفها، والجدول رقم (3) يبيّن معدل حالة الرصف والوعورة للطرق.

الجدول رقم (3): يبيّن متوسط أدلة التقييم حسب نوع الطرق

| م | مؤشر التقييم | الدولية | الرئيسية | الطرق الثانوية |
|---|--------------------------------------|---------|----------|----------------|
| 1 | متوسط دليل حالة الرصف (PCI) | 52,6 | 40,2 | 66,8 |
| 2 | متوسط دليل مستوى الخدمة الحالي (PSI) | 2,6 | 2 | 3,3 |
| 3 | متوسط دليل الوعورة العالمي (IRI) | 4,9 | 5,7 | 4,7 |

الجدول رقم (4): متوسط مؤشرات حالة الرصف والوعورة لأصناف الطرق حسب عمر الرصف

| نوع الطريق | الطرق الدولية | | | الطرق الرئيسية | | | الطرق الثانوية | | | |
|------------|-----------------|------|-----|----------------|------|-----|----------------|------|-----|-----|
| | مؤشر حالة الرصف | PCI | PSI | IRI | PCI | PSI | IRI | PCI | PSI | IRI |
| عمر الرصف | 1 (جديد جداً) | 99 | 5 | -- | 99,3 | 4,9 | -- | 94,8 | 4,9 | -- |
| | 2 (جديد) | 76,5 | 3,9 | 1,7 | 69,1 | 3,4 | -- | 54,5 | 3,5 | -- |
| | 3 (متوسط) | 47,9 | 2,4 | 4,7 | 46,9 | 2,3 | 4,7 | 60 | 2,9 | 4,3 |
| | 4 (قديم) | 32 | 1,6 | 6,7 | 32,3 | 1,6 | 6,2 | 28 | 1,5 | 5,2 |

إن معدل وعورة الطرق بعد مرور 7 سنوات يصبح كبيراً ويعبر عن وعورة عالية في الطرق؛ مما يدل على أن عمر طبقات الرصف هو في المتوسط سبع سنوات ويحتاج الرصف بعدها إلى إعادة تنفيذ طبقة المجموعات الأولى والثانية.

من الجدول نجد أن متوسط مؤشرات التقييم للمقاطع التي تكون في المجموعة الثالثة والرابعة للفئات العمرية تكون ذات تدهور كبير وواضح عن بقية المجموعات الأولى والثانية.

المرور الكبير تكون بحالة أسوأ من المجموعات الأخرى ذات حجم المرور الأقل، وهذا يظهر بشكل واضح عندما يكون تصنيف المركبات معروفاً ومن ثم معرفة نسبة المركبات الثقيلة يوضح سبب تدهور حالة الرصف السريع وهذا ما يظهر في الطرق الدولية. ولما كانت الطرق في سوريا معظمها مكون من حارتي مرور فقط فمن المفترض أن تكون الحرارة الخارجية أكثر تأثيراً بذلك بسبب تكرار مرور الشاحنات الثقيلة عليها مقارنة بالحرارة الداخلية. الجدول رقم (5) يبين متوسط مؤشرات التقييم لحالة الرصف حسب حجم المرور اليومي وحسب أصناف الطرق والتي تبين أنها متاسبة فكلما ازداد حجم المرور اليومي ازدادت حالة الرصف سوءاً، ولكن في الطرق الرئيسية والثانوية نجد أن قيمة حالة الرصف تكون أسوأ بسبب أن الطرق ذات الحجم المروري الخفيف تكون أهميتها أقل بالنسبة إلى خطة الصيانة.

التغطية لتحسين معدل الوعورة ورفع كفاءة طبقات الرصف كما هو واضح من الجدول رقم (4).

4-4-3-4-4 مستوى حجم المرور (Traffic Levels)

يؤثر حجم المرور وخاصة الشاحنات الثقيلة بشكل كبير في تدهور حالة الرصف. ونتيجة لذلك تظهر حادثة الكل أو تعب الرصف في طبقات الرصف بشكل واضح.

يمكن أن يعبر عن حجم المرور بمتوسط حجم المرور اليومي (ADT). وهو متوسط عدد المركبات باليوم/حارة. وزع حجم المرور إلى ثلاثة مستويات: خفيف: أقل من 3000 مرتبة باليوم بالحارة متوسط: أكبر من 3000 وأقل من 6000 مرتبة باليوم بالحارة

شديد: أكبر من 6000 مرتبة باليوم بالحارة

قيمت حالة الرصف حسب مستويات حجم المرور في ثلاثة مستويات. وتبيّن أن مجموعة الطرق ذات حجم

الجدول رقم (5): متوسط مؤشرات التقييم حسب أصناف الطرق وحسب مستويات حجم المرور اليومي

| | نوع الطريق | الطرق الدولية | | | الطرق الرئيسية | | | الطرق الثانوية | | |
|------------------|------------|-----------------|-----|-----|----------------|-----|-----|----------------|-----|-----|
| | | مؤشر حالة الرصف | PCI | PSI | IRI | PCI | PSI | IRI | PCI | PSI |
| مستوى حجم المرور | خفيف | 77 | 3,9 | 5,2 | 38,4 | 1,9 | 5,2 | 38 | 4 | -- |
| | متوسط | 50,2 | 2,5 | 4,6 | 57 | 2,9 | 6,7 | 65 | 3,3 | 4,5 |
| | شديد | 48,8 | 2,4 | 5,2 | 37 | 1,9 | 5,9 | 61 | 3 | 5,2 |

الرصف قليلة في حالة الطرق التي تمت صيانتها صيانة روتينية، وعلى العكس فإن متوسط مؤشرات حالة الرصف تكون جيدة في حالة الطرق التي تمت صيانتها بإعادة التأهيل، وهذا يدل على أن إعادة التأهيل تحسن أداء الرصف، في حين الصيانة الروتينية هي صيانة مؤقتة ولا تحسن أداء الرصف.

4-4-4-4 نوع الصيانة (Maintenance Type)

يؤثر نوع الصيانة المنفذة على الطرق بشكل ملحوظ على سلوك أداء الرصف. وهناك نوعان من الصيانة المستخدمة جمعت الطرق على أساسها وهي الصيانة الروتينية الخفيفة (الترقيع وسد التشققات) وإعادة التأهيل. وقيمت حالة كل مجموعة بشكل منفصل. الجدول رقم (6) يبيّن أن متوسط مؤشرات تقييم حالة

الجدول رقم (6): متوسط مؤشرات حالة الرصف والوعورة لطرق حسب نوع الصيانة

| نوع الطريق | | الطرق internationale | | | الطرق principales | | | الطرق secondaires | | |
|-----------------|----------------------------|----------------------|-----|-----|-------------------|-----|-----|-------------------|-----|-----|
| مؤشر حالة الرصف | | PCI | PSI | IRI | PCI | PSI | IRI | PCI | PSI | IRI |
| نوع الصيانة | صيانة روتينية | 44 | 2,2 | 5.2 | 37 | 1.8 | 5.6 | 43 | 2.1 | 4.7 |
| | طبقة تغطية (إعادة التأهيل) | 98 | 5 | -- | 83 | 4.2 | -- | 80 | 4 | -- |

إذاً من خلال ما سبق و كنتيجة لدراسة تقييم حالة الرصف مع المتغيرات المختلفة نجد أن حالة الرصف تتأثر بشكل واضح بتغيير عمر الرصف وتغيير نوع الصيانة على الطريق. أما تأثير حالة التصريف وطبيعة استخدام الأراضي فتأثيرها كان ضعيفاً وغير واضح. أما بالنسبة إلى تأثير حجم المرور اليومي على حالة الرصف فقد كان واضحاً، فكلما ازداد حجم المرور زادت حالة الرصف سوءاً. وسوف يتم تأكيد علاقة تغير العوامل المختلفة وتأثيرها على حالة الرصف من خلال دراسة تحليل إحصائي للتباين بين تلك المتغيرات ومقدار شدة تأثيرها على حالة الرصف.

بني نموذج رياضي مصغر لكل عامل منفصل لدراسة تأثيره في حالة الرصف، وقد أجريت دراسة إحصائية باستخدام أحد البرامج الإحصائية الخاصة بذلك مثل برنامج Minitab. إذ إن العوامل السابقة الذكر كلها والمتوفرة في جداول البيانات درست وتم معرفة مدى تأثير كل عامل على حدة.

درس تداخل التأثير بين العوامل المؤثرة المختلفة فيما بينها على تدهور حالة الرصف وذلك باستخدام المعيار الإحصائي P-Value والذي بدوره يحدد مقدار تأثير تلك العوامل وأهمية ذلك التأثير على حالة الرصف بشكل ملحوظ.

أجري تحليل التباين (ANOVA) للمتغيرات الأولية في نماذج أداء الرصف وهي: عمر الرصف AGE حالة التصريف DC ، طبيعة استخدام الأرضي LU حجم المرور اليومي ADT ، ونوع الصيانة . وذلك بغية دراسة أهمية التأثير الإحصائي لتغير أو تباين قيم هذه المتغيرات على تغير أو تباين دليلاً حالة الرصف ومستوى الخدمة الحالي (PCI, PSI) وبعد أن أجري التحليل المذكور وحددت المتغيرات النهائية التي سيتم استخدامها للتتبؤ بمعاملات تقييم الرصف ودليل مستوى الخدمة الحالي تم العمل على البيانات لإعداد وتصميم نماذج أداء الرصف، ولمعرفة أو تحديد الشكل الأنسب للعلاقة الرياضية بين التابع (PCI,PSI)

5-4- الدراسة الإحصائية لتأثير العوامل المختلفة على سلوك الرصف (Statistical analysis of factors affecting the Pavement Performance)

لبناء نماذج رياضية صحيحة ودقيقة لأداء الرصف، فقد تمت دراسة التحليل الإحصائي لتأثير المتغيرات كلها على حالة الرصف بشكل منفصل وذلك لتحديد مدى تأثير تلك العوامل أو عدم تأثيرها على حالة الرصف إذ تم اعتماد العوامل المهمة لتدخل في تشكيل معادلة نموذج التحليل الانحداري لبناء النماذج الرياضية. أما العوامل التي تتصرف بقيمة $P-Value < 0.05$ والتي تدل على ضعف تأثيرها في تغير حالة الرصف فقد استبعدت من بناء النماذج الرياضية للتتبؤ بحالة الرصف [14]. ومن خلال ذلك حددت العوامل

والمتغيرات، تم توليد توابع رياضية (اللوغاریتم العشري والطبيعي، الجذر التربيعي) للتابع والمتغيرات للاستخدام في الاستنتاج التجريبي لشكل العلاقة المناسب. وتجدر الإشارة هنا إلى أن العمل الأساسي يركز على استبعاد النقاط الشاذة (outliers) البعيدة عن المنحنى الممثل للعلاقة الرياضية المعنية وصولاً إلى المؤشرات الإحصائية المناسبة (R-Sq) مثلاً. والجدول رقم (7) يبين نتائج تحليل التباين لتأثير العوامل المختلفة على دليل مستوى الخدمة الحالي للرصف، وبالطريقة نفسها نجد أن عوامي طبيعة استخدام الأراضي و حالة التصريف لا يتمتعان بتأثير مهم واضح على مستوى الخدمة الحالي للرصف، وقد تمت دراستهما بشكل منفصل. أما باقي العوامل الأخرى المبينة بالجدول فتتمتع بتأثير واضح على مستوى خدمة الطرق الحالي. نتيجة دراسة تحليل التباين نجد أن الرصف يزداد تدهوراً وسوءاً بتغيير العوامل التي تؤثر به والتي تظهر تأثيراً واضحاً وهي عمر الرصف ونوع الصيانة و حجم المرور في حين طبيعة استخدام الأراضي و حالة التصريف لا تظهر تأثيراً واضحاً في حالة بحثنا هذا.

الجدول رقم (7): يبيّن ملخص نتائج تحليل التباين لتأثير العوامل المختلفة على دليل حالة الرصف

| Pavement Condition | Road Type | Source | F-test | P-Value |
|--------------------|---------------|--------------------|----------|---------------|
| PCI | International | Pavement Age | 3662.694 | 0.0001 |
| | | Traffic Level | 82.534 | 0.0001 |
| | | Maintenance Type | 2770.095 | 0.0001 |
| | | Land Use | 1.504 | 0.223 |
| | | Drainage Condition | -- | -- |
| | Primary | Pavement Age | 249.024 | 0.0001 |
| | | Traffic Level | 13.227 | 0.0001 |
| | | Maintenance Type | 301.608 | 0.0001 |
| | | Land Use | -- | -- |
| | | Drainage Condition | -- | -- |
| | Secondary | Pavement Age | 416.879 | 0.0001 |
| | | Traffic Level | 6.847 | 0.0001 |
| | | Maintenance Type | 235.810 | 0.0001 |
| | | Land Use | -- | -- |
| | | Drainage Condition | -- | -- |

الجدول رقم (8): يبين ملخص نتائج تحليل التباين لتأثير العوامل المختلفة على مستوى الخدمة الحالي للرصف

| Pavement Serviceability Index | Road Type | Source | F-test | P-Value |
|-------------------------------|---------------|--------------------|----------|---------------|
| PSI | International | Pavement Age | 3446.855 | 0.0001 |
| | | Traffic Level | 85.511 | 0.0001 |
| | | Maintenance Type | 3037.915 | 0.0001 |
| | | Land Use | 1.766 | 0.172 |
| | | Drainage Condition | -- | -- |
| | Primary | Pavement Age | 250.087 | 0.0001 |
| | | Traffic Level | 13.282 | 0.0001 |
| | | Maintenance Type | 301.932 | 0.0001 |
| | | Land Use | -- | -- |
| | | Drainage Condition | -- | -- |
| | Secondary | Pavement Age | 311.480 | 0.0001 |
| | | Traffic Level | 5.710 | 0.004 |
| | | Maintenance Type | 232.818 | 0.0001 |
| | | Land Use | -- | -- |
| | | Drainage Condition | -- | -- |

5-4-1 - دراسة تأثير تصنيف الطريق على حالة الرصف حسب تغير نوع الطريق. فالطرق الدولية

غالباً ما تكون حالة أسوأ نتيجة حجم المرور الكبير والحمولات الكبيرة في حين الطرق الرئيسة تكون أفضل كونها تتلقى الصيانة الدورية المناسبة لحفظ

عليها قيد الاستخدام، أما الطرق الثانوية فنتيجة قلة الاستخدام و انخفاض حجم المرور عليها تكون حالة جيدة و يكون معدل التدهور أقل. والجدول رقم (9) يبين ملخص نتائج تحليل التباين للمتغيرات المختلفة وتأثيرها على حالة الرصف لمختلف أنواع الطرق.

الجدول رقم (9): ملخص نتائج تحليل التباين لتأثير التصريف واستخدام الأراضي ونوع الطرق على حالة الرصف

| Pavement Condition | Road Type | Source | F-test | P-Value |
|--------------------|-----------|--------------------|--------|---------------|
| PCI | All Roads | Drainage Condition | 0.239 | 0.625 |
| | | Land Use | 20.683 | 0.0001 |
| | | Road Type | 59.090 | 0.0001 |
| PSI | All Roads | Drainage Condition | 0.392 | 0.531 |
| | | Land Use | 20.516 | 0.0001 |
| | | Road Type | 57.847 | 0.0001 |

5- تطوير نماذج التنبؤ بحالة الرصف (Development of the Performance Prediction Models)

كما ذكرنا في مقدمة هذا البحث أن هناك العديد من نماذج التنبؤ التي تم تطويرها في مختلف إدارات الطرق كما هو الحال في ماليزيا وإنديانا ومدينة تورينتو ومدينة الرياض وباستخدام عوامل تأثير مختلفة على حالة الرصف، وفي حالة بحثنا هذا أخذنا عدداً من العوامل المؤثرة التي تم ذكرها سابقاً والتي بيّنت أنها عوامل ذات تأثير ضعيف وغير مهم على الآخر كانت عوامل ذات تأثير ضعيف وغير مهم على حالة الرصف مما اضطررنا إلى استبعادها من النماذج الرياضية كطبيعة استخدام الأرضي المجاورة والتصريف الجانبي. وأدرجت كافة العوامل السابقة كلها في نماذج التنبؤ في أثناء التحليل، ولكن النموذج الرياضي (في حالة إعداد أفضل النماذج) قام باستبعادها بشكل آني كما هو واضح في نتائج التحليل الانحداري المبينة في الجدول رقم (12).

5-1- تحديد النموذج :Model Definition

إن الطريقة التجريبية (التحليل الانحداري) بسيطة وأكثر ملاءمة لتحليل البيانات المتوفرة في مجال هذا البحث. فهي طريقة عملية، بسيطة وسهلة للتطوير، وتعطي نتائج دقيقة وصحيحة. لما كان لا يوجد بيانات متكررة لمدة طويلة ومستمرة لعينة الطرق المدروسة، فمن الضروري توزيع البيانات إلى مجموعات متماثلة أو متجانسة من حيث مواصفات مقاطع الطرق، ولكن تختلف في عمر الرصف، وهذا يساعد في التعويض عن تأمين البيانات المتكررة والمستمرة للمقاطع نفسها [7]. أجريت الدراسة الإحصائية لنماذج التنبؤ وذلك على البيانات مجتمعة لمعرفة مدى صحة البيانات، ومن ثم تم تحديد النماذج الرياضية التي تعد أكثر دقة وسهولة، وهي النماذج الخطية من الدرجة الأولى، والثانية التي

تعبر بشكل فعلي عن نمط البيانات كما في نموذج المعادلة رقم (5). بعد عدة محاولات تجريبية للبيانات فقد تم اختيار النموذج الرياضي من الدرجة الأولى بتشكيل العامل المؤثر بحالة الرصف والمبين بالمعادلة التالية سواء لدليل حالة الرصف (PCI) أو لدليل مستوى الخدمة الحالي (PSI):

$$(PCI \text{ or } PSI) = a + b * Age + c * TL + d * MT.... \quad (5)$$

إذ إن:

$PCI, PSI =$ دليل حالة الرصف الحالي أو مستوى الخدمة الحالي

$Age =$ مستوى عمر الرصف ($= 1$ = أقل من 3 سنوات، $= 2$ = أقل من 7 سنوات، $= 3$ = أقل من 10 سنوات، $= 4$ = أكبر من 10 سنوات)

$TL =$ مستوى حجم المرور ($= 1$ = خفيف أقل من 3000 مرکبة باليوم، $= 2$ = متوسط أقل من 6000 مرکبة باليوم، $= 3$ = عالٍ أكثر من 6000 مرکبة باليوم)

$MT =$ نوع الصيانة ($= 0$ = صيانة روتينية خفيفة، $= 1$ = إعادة التأهيل)

$A, b, c, d =$ عوامل رقمية نتيجة التحليل الانحداري درس نوعان لنماذج التنبؤ بحالة الرصف، الأول هو علاقة حالة الرصف مع بالعوامل المؤثرة في حالة الرصف كلها مجتمعة بنموذج واحد، وكذلك دراسة تأثير عمر الرصف بنموذج منفصل. والثاني هو علاقة دليل مستوى الخدمة الحالي بالعوامل مجتمعة و بعمر الرصف بشكل منفصل. وفي هذا البحث تم فصل النماذج في حالة الصيانة الروتينية وحالة إعادة التأهيل وذلك لأن تأثير الصيانة كبير على حالة الرصف. أيضاً كررت الدراسة لكل نوع من أنواع الطرق الثلاثة كلها على حدة، وذلك لأن نمط التدهور يختلف حسب نوع الطريق، كما أظهرت نتائج دراسة التحليل الإحصائي.

الجانبي وكذلك طبيعة استخدام الأرضي المجاورة وذلك لأن قيمة P-Value كانت أكبر من 0,05 وهذا دليل إحصائي على ضعف قوة الترابط بين بيانات حالة الرصف وبيانات حالة التصريف وكذلك بيانات طبيعة استخدام الأرضي أي لا يوجد تأثير لذلك العاملين على معدل انحدار حالة الرصف. وتبيّن الأشكال التالية (6) و(7) و(8) التمثيل البياني لنماذج التنبؤ لحالة الرصف والبيانات. حيث نلاحظ أن معدل تدهور الرصف بشكل عام مع العمر يكون منطقياً ويعبر عن قوة العلاقة بين العمر وحالة الرصف كما في الشكل رقم (6) وهذا منطقي وهو أساس لنماذج الأخرى . كما نلاحظ أن معدل تدهور الرصف في حالة الصيانة الروتينية، أسرع منه في حالة إعادة التأهيل إذ بالمقارنة بين الشكل رقم (7) والشكل رقم (8) نجد أنه عند عمر الرصف 10 سنوات تقل قيمة حالة الرصف إلى 50 مع أنها تحافظ على قيمة 80 للعمر نفسه بحالة إعادة التأهيل . وهذا يدل على أن إعادة التأهيل تم بعد عمر الرصف أو بمعنى آخر تؤخر تدهور حالة الرصف إلى فترة أطول من الزمن عن تلك الصيانة الروتينية والتي تكون فقط لحماية الرصف من العوامل الجوية. وهذا أيضاً يساعدنا في فهم مبدأ الصيانة الوظيفية والصيانة الإنشائية للرصف، إذ الأولى تهتم بصيانة العيوب السطحية التي من شأنها المحافظة على الرصف قيد التشغيل مدة بسيطة وذلك حتى يتم اعتماد الصيانة الأساسية الإنشائية لتنمية طبقات الرصف. من الأشكال نجد أن إعادة التأهيل تم بعد عمر الرصف ما يقارب 10 سنوات حتى يصل معدل التدهور إلى 40 مقارنة بالصيانة الروتينية.

والواضح من الأشكال رقم (9) و(10) أن تأثير عامل المرور والتصريف واستخدام الأرضي المجاورة يكون قليلاً وضعيفاً على حالة الرصف وذلك لأنه في

5-2- تصميم الواقع التجاري للنموذج

:Design of Experiment

ولتحديد و اختيار أفضل النماذج الإحصائية فقد تم اختبار العديد من المفاهيم الإحصائية الرياضية، على مجموعات متشابهة ومتجانسة من حيث الموصفات والصفات الأخرى ولكن تختلف بعامل واحد على سبيل المثال عمر الرصف. النقاط الأساسية التالية تم اتباعها كقواعد أساسية لتحديد أفضل وأدق النماذج:

- المنحى العام لتوزع بيانات قراءات حالة الرصف والتي تعطي توزعاً منطقياً بميل مقبول.
- عدد نقاط الاختبار، إذ كلما كان العدد كبيراً مثلاً الواقع أكثر.

- تحديد عامل دقة النماذج (R^2)، إذ يعبر عن مدى ملاءمة النموذج الرياضي لممثل البيانات.

- P-Value يجب أن تكون أقل من 0,05 لكل متغير، ليكون مؤثراً بشكل قوي أو ليعبر عن قوة العلاقة بين المتغير وبين العوامل الرئيسية المتباعدة بها.

- بعض العلاقات الرياضية مثل غير الخطية أحياناً لأنها لا تعبر بشكل فعلي عن أداء الرصف وسلوكه.

5-3-نتائج بناء النماذج الرياضية Results of

:Mathematical Models

5-3-1- نماذج التنبؤ بأداء الرصف باستخدام دليل حالة الرصف Pavement Performance Models

:Using PCI

تم اعتبار نوعين للصيانة في التحليل الإحصائي، وهما الصيانة الروتينية البسيطة وإعادة التأهيل. فُصلت البيانات حسب نوع الصيانة، ودرست نماذج منفصلة لكل نوع صيانة، هذا فضلاً عن عامل العمر. وقد حددت نماذج الأداء باستخدام العوامل كلها ومن ثم تحديد النموذج الأفضل.

بشكل عام لا توجد قوة ارتباط لعاملي حالة التصريف

يؤدي إلى انخفاض معدل مستوى الخدمة للرصف. ونلاحظ أن معدل تدهور الرصف في حالة الصيانة الروتينية يكون أسرع مما هو في حالة إعادة التأهيل حيث من الشكل رقم (12) والشكل رقم (13) وبالمقارنة نجد أنه عند عمر الرصف 10 سنوات تقل قيمة مستوى الخدمة إلى 2,5 لحالة الصيانة الروتينية بالمقارنة مع أنها تحافظ على قيمة 3,5 للعمر نفسه بحالة إعادة التأهيل. وهذا يدل على أن نوع الصيانة الجيدة أو الأساسية يُحسن في مستوى الخدمة للطريق أو بمعنى آخر يؤخر تدهور حالة الرصف إلى مدة أطول من الزمن عن تلك الصيانة الروتينية والتي تكون لحماية الرصف من العوامل الجوية. وهذا أيضاً يساعدنا في فهم مبدأ إعادة تسوية السطوح بطبقة تسوية (تغطية) لتحسين مستوى خدمة الطريق في حال كانت قيمة الوعورة عالية.

من الأشكال نجد أن إعادة التأهيل تم بعد عمر الرصف ما يقارب 10 سنوات حتى يصل معدل التدهور إلى 3 مقارنة بالصيانة الروتينية التي عند العمر نفسه تكون قيمة دليل مستوى الخدمة 2,5.

إذاً بالرجوع للنماذج المختلفة دليل حالة الرصف ومستوى خدمة الطريق، ومن الجدول رقم (10) نجد أن النموذج رقم (4) هو الأفضل والمقترح عملياً لأنه يضم عامل العمر ونوع الصيانة ومن ثم يمكن استخدامه بشكل عام إذ إنَّ معامل الثقة R-Square يبلغ 92,4% دليل حالة الرصف و 91,8% دليل مستوى الخدمة الحالي.

ومن خلال التحليل الإحصائي تبين أن معامل المرور والتصريف وطبيعة الاستخدام للأراضي المجاورة تم حذفها لأنها لا تؤثر بشكل مباشر في حالة الرصف. وسيتم مناقشة مقارنة النماذج وتحديد الأفضل منها في الفقرات التالية وهذا ينطبق أيضاً على نماذج التنبؤ للطرق الرئيسية في الجدول رقم (11) والطرق الثانوية في الجدول رقم (12). إذاً النماذج المقترنة هي النماذج رقم (4) في تلك الجداول لأنواع الطرق.

الطرق الدولية، لا يوجد تغير كبير واضح في حجم المرور بحيث يؤثر تأثيراً ملمساً بحالة الرصف وبالمثل إن التصريف هنا يعتمد على التصريف السطحي والميول الطولية للجوانب وكذلك طبيعة استخدام الأرضي تكون بشكل عام واحدة ولا يوجد تنوع طبيعة الاستخدام بجانب الطرق الدولية. إذاً العوامل الأساسية الواضحة التأثير على الرصف في الطرق الدولية هي العمر ونوع الصيانة. إذ من الجدول رقم (12) نجد أن نماذج التنبؤ بحالة الرصف للطرق الدولية تكون مناسبة في حالة استخدام العمر وحالة الصيانة. ويمكن استخدام النموذج الذي يضم العاملين السابقين أو يمكن استخدام نموذج التنبؤ حسب نوع الصيانة.

5-3-2 - نماذج التنبؤ بأداء الرصف باستخدام دليل مستوى الخدمة الحالي Pavement Performance Models Using PSI

بالطريقة نفسها وبالمثل درست نماذج التنبؤ بحالة الرصف باستخدام دليل مستوى الخدمة الحالي للطريق (PSI) الذي يعبر عن راحة القيادة أو دليل استخدام الطريق. بشكل عام لا توجد قوة في التأثير لعاملي حالة التصريف الجانبي وطبيعة استخدام الأرضي المجاورة، وذلك لأن قيمة P-Value كانت أكبر من 0,05 وهذا دليل على إن مستوى الخدمة الحالي يتأثر بشكل واضح بعدم استوائية الطريق وظهور الأضرار على السطح ، أي لا يوجد تأثير للعاملين على معدل اندحار دليل مستوى الخدمة الحالي. فالنماذج المدروسة على البيانات والتي أدرجت في الجدول رقم (12) اختيرت من عدة محاولات لدراسة دليل مستوى الخدمة الحالي. نلاحظ أن دليل مستوى الخدمة يتأثر تأثراً كبيراً بنوع الصيانة كما نلاحظ أن معدل تدهور الرصف بشكل عام مع العمر منطقي ويعبر عن قوة العلاقة بين العمر وحالة الرصف كما في الشكل رقم (11) وهذا منطقي وهو أساس للنماذج الأخرى إذ مع الزمن تزداد حالة الرصف سوءاً ومن ثم تظهر الأضرار على السطح مما

الجدول رقم (10): نتائج نماذج التنبؤ بحالة الرصف لطرق الدولية

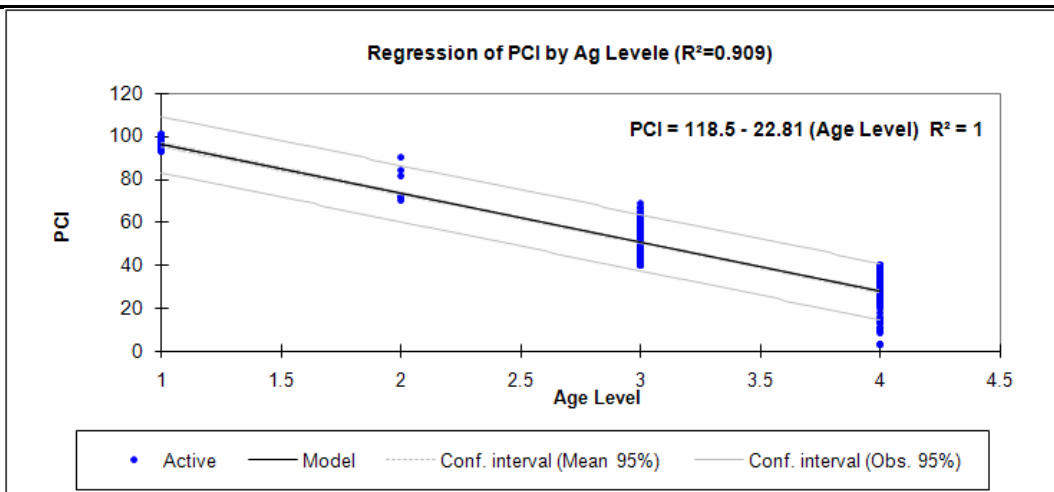
| No. | Prediction Models | No. Of Observation | R Square | Adjusted R Square | P-Value |
|---|--|--------------------|----------|-------------------|---------|
| Pavement Condition Index (PCI) | | | | | |
| 1 | $PCI = 118.9 - 22.8 * Age$ | 846 | 0.909 | 0.909 | 0.0001 |
| 2 | $PCI = 102.7 - 18 * Age$ for (Routine) | 717 | 0.664 | 0.663 | 0.0001 |
| 3 | $PCI = 109.7 - 10.5 * Age$ for (Overlay) | 129 | 0.637 | 0.634 | 0.0001 |
| 4 | $PCI = 102.9 + 14.3 * MT - 18.1 * Age$ | 844 | 0.924 | 0.924 | 0.0001 |
| Present Serviceability Index (PSI) | | | | | |
| 1 | $PSI = 5.96 - 1.15 * Age$ | 846 | 0.895 | 0.895 | 0.0001 |
| 2 | $PSI = 4.96 - 0.85 * Age$ for (Routine) | 717 | 0.617 | 0.616 | 0.0001 |
| 3 | $PSI = 5.94 - 0.93 * Age$ for (Overlay) | 129 | 0.647 | 0.645 | 0.0001 |
| 4 | $PSI = 4.96 + 0.89 * MT - 0.85 * Age$ | 844 | 0.918 | 0.918 | 0.0001 |

الجدول رقم (11): نتائج نماذج التنبؤ بحالة الرصف لطرق الرئيسية

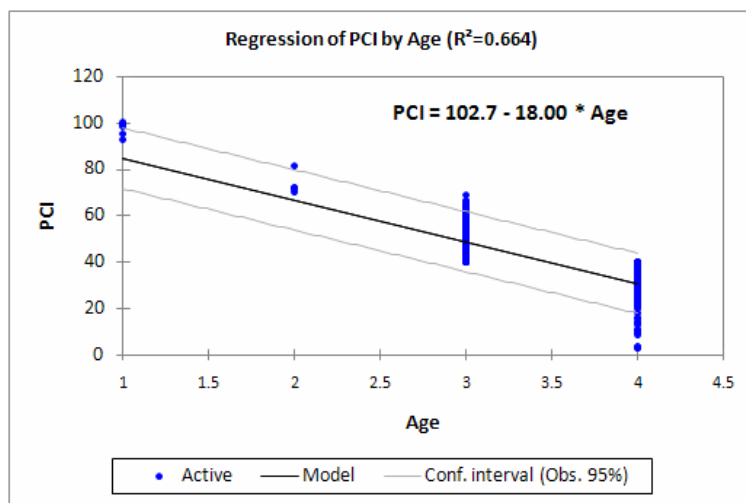
| No. | Prediction Models | No. Of Observation | R Square | Adjusted R-Square | P-Value |
|---|--|--------------------|----------|-------------------|---------|
| Pavement Condition Index (PCI) | | | | | |
| 1 | $PCI = 108.6 - 19.4 * Age$ | 155 | 0.794 | 0.793 | 0.0001 |
| 2 | $PCI = 83.69 - 12.84 * Age$ for (Routine Maintenance) | 143 | 0.543 | 0.540 | 0.0001 |
| 3 | $PCI = 113.69 - 16.33 * Age$ for (Overlay Maintenance) | 12 | 0.881 | 0.896 | 0.0001 |
| 4 | $PCI = 86.70 + 22.08 * MT - 13.66 * Age$ (Best Model) | 155 | 0.870 | 0.869 | 0.0001 |
| Present Serviceability Index (PSI) | | | | | |
| 1 | $PSI = 5.43 - 0.97 * Age$ | 155 | 0.794 | 0.793 | 0.0001 |
| 2 | $PSI = 4.18 - 0.64 * Age$ for (Routine Maintenance) | 143 | 0.543 | 0.540 | 0.0001 |
| 3 | $PSI = 5.69 - 0.82 * Age$ for (Overlay Maintenance) | 12 | 0.880 | 0.868 | 0.0001 |
| 4 | $PSI = 4.33 + 1.10 * MT - 0.68 * Age$ (Best Model) | 155 | 0.871 | 0.868 | 0.0001 |

الجدول رقم (12): نتائج نماذج التنبؤ بحالة الرصف لطرق الثانوية

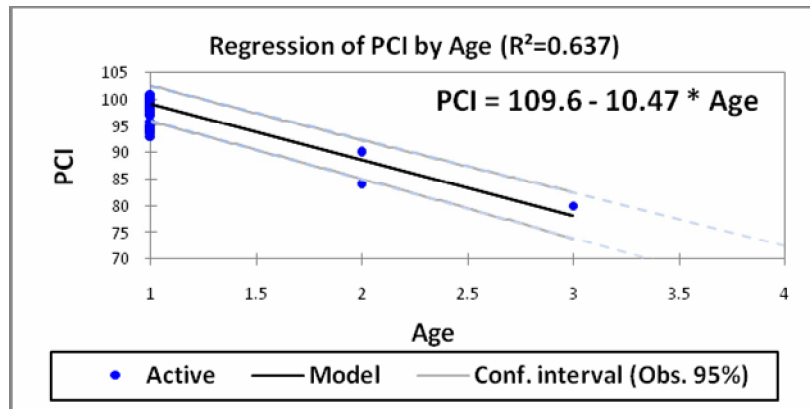
| No. | Prediction Models | No. Of Observation | R Square | Adjusted R Square | p -Value |
|---|--|--------------------|----------|-------------------|----------|
| Pavement Condition Index (PCI) | | | | | |
| 1 | $PCI = 116.61 - 19.97 * Age$ | 152 | 0.855 | 0.854 | 0.0001 |
| 2 | $PCI = 128.45 - 25.07 * Age$ for (Routine Maintenance) | 54 | 0.744 | 0.739 | 0.0001 |
| 3 | $PCI = 107.92 - 14.08 * Age$ for (Overlay Maintenance) | 98 | 0.862 | 0.860 | 0.0001 |
| 4 | $PCI = 86.70 + 22.08 * MT - 13.66 * Age$ (Best Model) | 152 | 0.912 | 0.911 | 0.0001 |
| Present Serviceability Index (PSI) | | | | | |
| 1 | $PSI = 5.97 - 1.05 * Age$ | 152 | 0.844 | 0.843 | 0.0001 |
| 2 | $PSI = 5.29 - 0.93 * Age$ for (Routine Maintenance) | 54 | 0.576 | 0.568 | 0.0001 |
| 3 | $PSI = 5.63 - 0.79 * Age$ for (Overlay Maintenance) | 98 | 0.807 | 0.805 | 0.0001 |
| 4 | $PSI = 4.87 + 0.79 * MT - 0.81 * Age$ (Best Model) | 152 | 0.902 | 0.901 | 0.0001 |



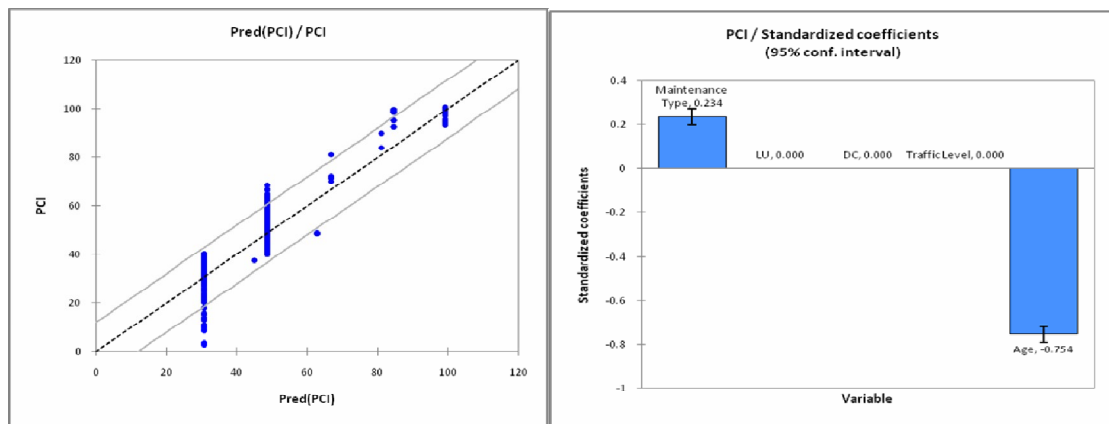
الشكل رقم (6): منحنى أداء الرصف باستخدام دليل حالة الرصف مع العمر النموذج (1)



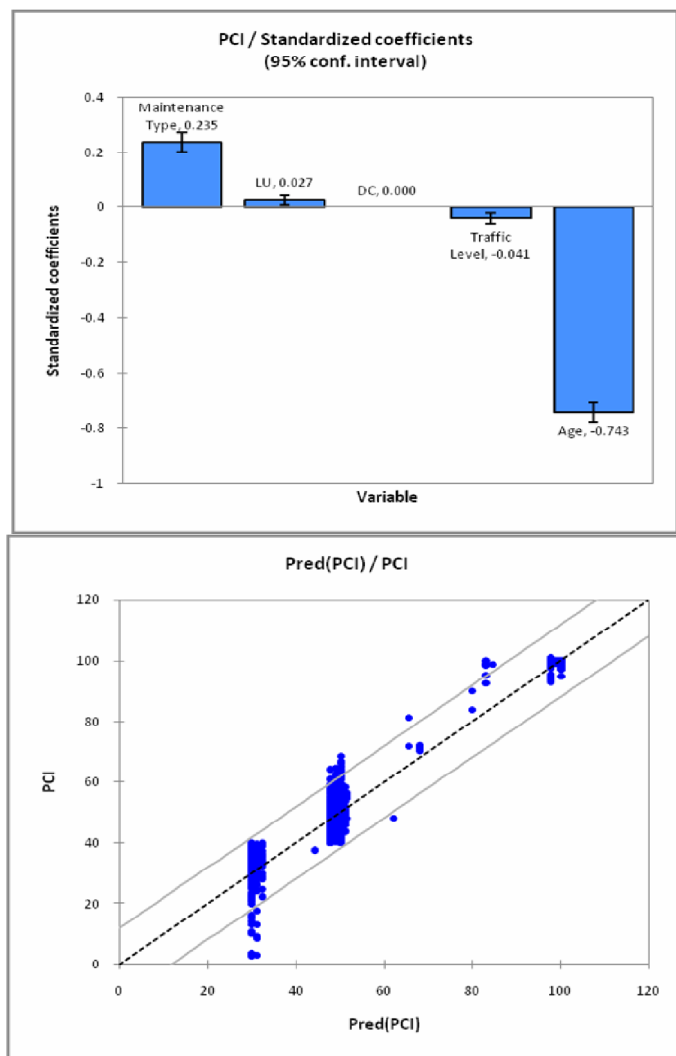
الشكل رقم (7): منحنى أداء الرصف باستخدام دليل حالة الرصف مع العمر لحالة الصيانة الروتينية النموذج (2)



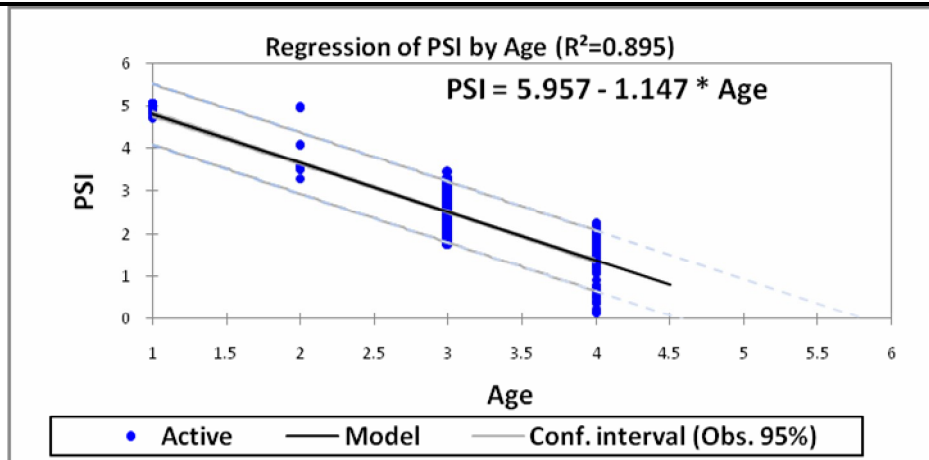
الشكل رقم (8): منحنى أداء الرصف باستخدام دليل حالة الرصف مع العمر لحالة إعادة التأهيل النموذج (3)



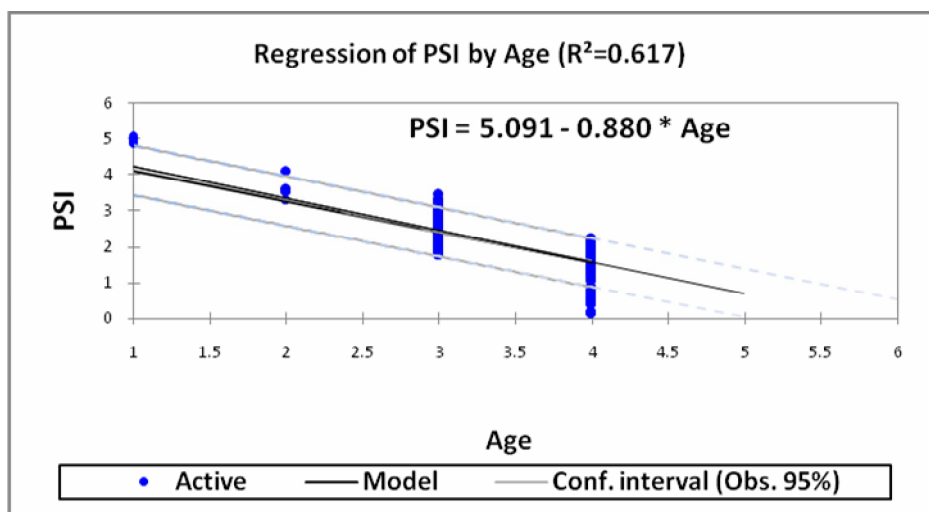
الشكل رقم (9): أفضل منحنى أداء الرصف باستخدام دليل حالة الرصف مع العمر والعوامل الأخرى النموذج (4)



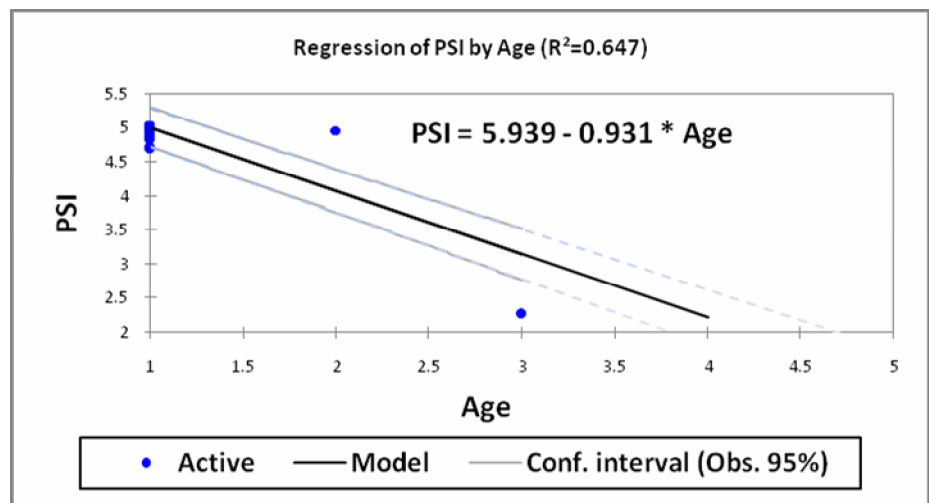
الشكل رقم (10): منحنى أداء الرصف باستخدام دليل حالة الرصف مع العمر والعوامل الأخرى النموذج (5)



الشكل رقم (11): منحنى أداء الرصف باستخدام دليل مستوى الخدمة الحالى مع العمر النموذج (1)



الشكل رقم (12): منحنى أداء الرصف باستخدام دليل مستوى الخدمة الحالى مع العمر (صيانة روتينية) النموذج (2)



الشكل رقم (13): منحنى أداء الرصف باستخدام دليل مستوى الخدمة الحالى مع العمر (صيانة أساسية) النموذج (3)

بعد أن تم تطوير مجموعة من النماذج أجري الحساب التطبيقي لقيم دليل حالة الرصف (PCI) من خلال هذه النماذج ومقارنتها مع القيم الفعلية وفقاً لبيانات المسح البصري لأضرار الرصف. مع أن النتائج التي تعطيها هذه النماذج موضوع التطوير تعد مقاربة فيما بينها ومقاربة لبيانات الفعلية، إلا أن نتائج النماذج المقترنة رقم (4) تعد الأقرب والأدق لأن الفروقات بينها وبين البيانات الفعلية هي الأقل (راجع الجداول أدناه). الجداول (15) و (16) و (17) تبين وتوضح نتائج المقارنة بين القيم المحسوبة والقيم الفعلية لأدلة حالة الرصف وذلك لنماذج التبؤ مع العمر والعوامل المختلفة كلها وكذلك للنماذج حسب نوع الصيانة (روتينية أو إعادة التأهيل) وذلك لكل صنف من أصناف الطرق. الجداول السابقة تتضمن قيمة الأدلة المحسوبة من النماذج المطورة وبجانبها نسبة الفرق بين القيمة المحسوبة والقيمة الفعلية. وعلى سبيل المثال في الجدول رقم (15) للطرق الدولية نجد أن نسبة الفروقات التي هي أقل من 10% بين المحسوبة والفعلية لدليل حالة الرصف تتراوح بين 88.4 % إلى 96.9 % بينما الفروقات التي هي أكثر من 10% لا تتجاوز نسبتها 3% إلى 11.5%. وبالمثل بالنسبة إلى دليل مستوى الخدمة الحالي إذ أن نسبة الفروقات التي هي أقل من 0.5 % بين القيم المحسوبة والفعلية لنماذج التبؤ بدليل مستوى الخدمة الحالي تتراوح أيضاً بين 85.3 % و 96.9 %. ولا تزيد نسبة المقاطع التي فيها فرق أكبر من 0.5 % على نسبة تتراوح بين 14.6 % و 14.6% أيضاً وذلك للطرق الدولية. الجدول رقم (15) يبيّن نتائج المقارنة والتحقق من دقة ومصداقية النماذج للطرق الدولية. الشكل رقم (14) بين الرسم البياني لبيانات الفعلية والمحسوبة للنموذج رقم (4) لدليلي حالة الرصف ومستوى الخدمة الحالي

5-4- التحقق من صحة ودقة نماذج التبؤ بأداء الرصف Pavement Performance Models Validation and Verification

حتى يكون نموذج الأداء صحيحًا ودقيقاً يجب استخدامه ضمن المجال الفعلي لبيانات التي استخدمت في إنشاء تطوير ذلك النموذج. ومن ثم تم معايرة وتجريب النماذج باستخدام بيانات فعلية. إذ تم تطبيق النموذج والحصول على النتائج الحسابية وقورنت بالقيم الفعلية نفسها لبعض المقاطع والتحقق من دقة نتائج النماذج في التبؤ بحالة الرصف. وهنا يجب أن نذكر أن كافة النماذج المطورة تكون ممكنة التطبيق فقط ضمن مجال القيم الفعلية للعوامل الداخلة في بناء النماذج، إذ يجب اعتبار القيم الدنيا والعظمى للعوامل كلها. ولا يمكن لذلك النماذج أن تكون قابلة للتطبيق خارج تلك الحدود، وعندها إذا كان الأمر كذلك فلابد من تطوير وتحديث نماذج التبؤ عند تغيير قيم تلك الحدود.

5-4-1- مقارنة نتائج النماذج فيما بينها (Comparison Report)

بغية تسهيل اتخاذ القرار المناسب بشأن اختيار النموذج الأنسب، تتم مقارنة النتائج التي تعطيها النماذج فيما بينها اعتماداً على مدخلات محددة موحدة للمتغيرات المعتمدة (Age, MT).

مع أن النتائج التي تعطيها النماذج مقاربة فيما بينها إلا أن نتائج النماذج المقترنة تعد الأنسب من حيث مقاربتها لبيانات الفعلية (كما ذكر أعلاه). كما أن النماذج المقترنة تعد مناسبة من حيث الصيغة الرياضية.

5-4-2- التحقق من نتائج نماذج الأداء (Verification Report)

بأداء وسلوك الرصف. وقد تضمن كذلك الاختبار الإحصائى الأولى للتحقق من صحة البيانات ومدى ملاءمتها للدراسة، مع دراسة وتحديد العوامل الأكثر أهمية التي تؤثر في حالة الرصف، وبناء النماذج الرياضية والتحقق من دقة نتائجها. ويمكن أن نلخص نتائج تلك الدراسة بالنقاط التالية:

- نتيجة اختبار التوزع الطبيعي للبيانات، فقد تبين أن البيانات تتسم بتوسيع طبيعي جيد وملائم لأهداف البحث.

أظهرت الدراسة الإحصائية أن العوامل أو المتغيرات التي تؤثر بحالة الرصف (عمر الرصف، نوع الصيانة، حجم المرور) لها تأثير كبير واضح على حالة الرصف. في حين عوامل (التصريف الجانبي وطبيعة استخدام الأرضي) لا تؤثر بشكل واضح على حالة الرصف مما أدى إلى استبعادها من نماذج التنبؤ الرياضية.

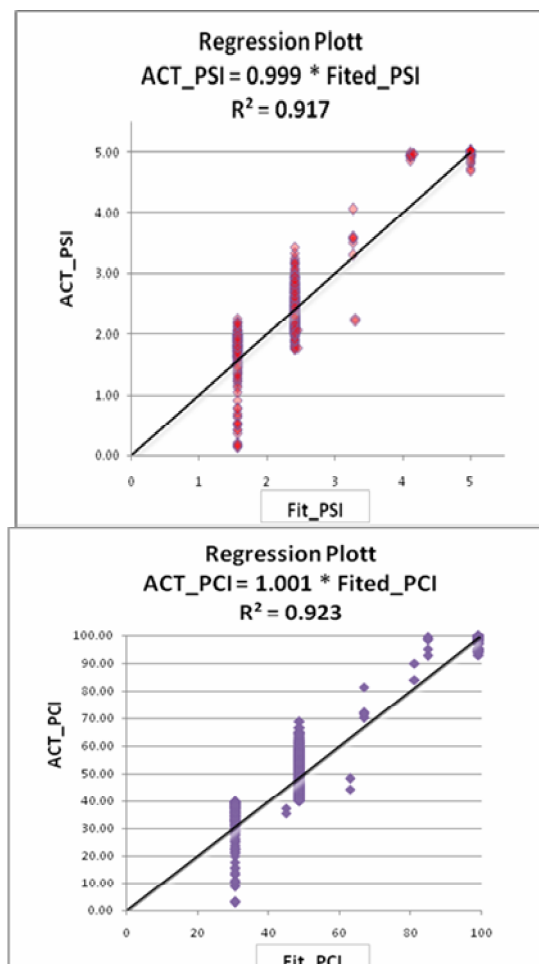
أربعة وعشرون نموذج تنبؤ رياضي درسوها بالتفصيل وذلك للتتبؤ بدليل حالة الرصف ودليل مستوى خدمة الطريق الحالي والتي تعد معايير لتقدير الرصف. حيث تم دراسة ثمانية نماذج لكل صنف من أصناف الطرق، موزعة على أربعة نماذج لكل دليل تقييم ضمن كل صنف من أصناف الطرق، لتحديد نماذج التنبؤ حسب طريقة الصيانة وتحديد أفضل تمثيل للبيانات.

بينت دراسة مقارنة النماذج ودراسة التحقق من دقة وصحة النماذج، أن الفروقات بين القيم الفعلية لحالة الرصف والقيم المحسوبة من النماذج قليلة ومنطقية إذ إنها ضمن مجال الخطأ المقبول لأدلة تقييم الرصف.

ضرورة توفر بيانات للعوامل كلها التي يمكن أن تؤثر بحالة الرصف وبما يتبع المجال لدراسة

من نماذج الطرق الدولية التي تبين دقة النتائج للنماذج المطورة وصحتها.

بالمثل الجدول رقم (16) و(17) يحتوي على بيانات التتحقق من دقة النماذج وذلك للطرق الرئيسية والثانوية على التوالي، ومنها نجد أن نسبة الفروقات بين القيم المحسوبة والفعالية لدليل حالة الرصف ودليل مستوى الخدمة الحالي تقع ضمن المجال المقبول ومن ثم هي مقبولة وصحيحة.



الشكل رقم (14): التمثيل البياني للبيانات الفعلية والمحسوبة لدليل حالة الرصف ومستوى الخدمة للطرق الدولية

6 - نتائج البحث (Conclusion)

تضمن هذا البحث كما تم عرضه سابقاً الدراسة التحليلية الإحصائية لتطوير واستبطاط نماذج التنبؤ

رياضي واحد لكل صنف من أصناف الطرق الثلاث، وهي نموذج للتتبؤ بدليل حالة الرصف ونموذج للتتبؤ بدليل مستوى الخدمة الحالي. تلك النماذج مختلفة حسب صنف الطريق وهي بدلالة عمر الرصف ونوع الصيانة التي أجريت مؤخرًا على الطرق التي يتم دراستها. تلك النماذج تم إدراجها بالجدول التالي ونلاحظ أن دليل دقة النماذج المقترحة (R^2) لكل النماذج أكبر من 80% مما يدل على دقة النماذج لتمثيلها للبيانات وصحتها بشكل فعلي.

تأثيرها لأننا في بحثنا هذا استبعدنا عامل التصريف الجانبي ذو التأثير الذي قد يكون مهمًا فيما لو توفرت بياناتة بشكل كامل ودقيق وكذلك عامل طبيعة استخدام الأرضي.

7 - التوصيات التطبيقية للبحث:

بناءً على دراسة نتائج مقارنة القيم الفعلية لمعاملات (دلائل) حالة الرصف والقيم المحسوبة من معادلات النماذج المستطبطة فقد تبين أن أفضل النماذج للتتبؤ بحالة الرصف والتي يوصى باستخدامها هي نموذج

النماذج المقترحة حسب نوع الطريق هي كما في الجدول الآتي:

| No. | Prediction Models | No. Of Observation | R Square | Adjusted R Square | P - Value |
|-------------------|--|--------------------|----------|-------------------|-----------|
| للطرق الدولية | $PCI = 102.9 + 14.3 * MT - 18.1 * Age$ | 844 | 0.924 | 0.924 | 0.0001 |
| | $PSI = 4.96 + 0.89 * MT - 0.85 * Age$ | 844 | 0.918 | 0.918 | 0.0001 |
| للطرق الرئيسية | $PCI = 86.70 + 22.08 * MT - 13.66 * Age$ | 155 | 0.870 | 0.869 | 0.0001 |
| | $PSI = 4.33 + 1.10 * MT - 0.68 * Age$ | 155 | 0.871 | 0.868 | 0.0001 |
| للطرق الثانوية | $PCI = 86.70 + 22.08 * MT - 13.66 * Age$ | 515 | 0.912 | 0.911 | 0.0001 |
| | $PSI = 4.87 + 0.79 * MT - 0.81 * Age$ | 152 | 0.902 | 0.901 | 0.0001 |

الجدول رقم (15): يبين نتائج المقارنة والتحقق من دقة النماذج للطرق الدولية ومصادقتها

| نماذج التتبؤ بدليل حالة الرصف (PCI) | | | | | | | | المتغيرات | | | | |
|-------------------------------------|-----------------|--------------------------|-----------------|--------------------------|-----------------|--------------------------|-----------------|--------------------------|----|-------|------|-----|
| 4 th Equation | | 3 rd Equation | | 2 nd Equation | | 1 st Equation | | Age | MT | PCI | PSI | No. |
| Deference | PCI (Predicted) | Deference | PCI (Predicted) | Deference | PCI (Predicted) | Deference | PCI (Predicted) | | | | | |
| 8.64 | 30.5 | | | 8.44 | 30.7 | 11.44 | 27.7 | 4 | 0 | 39.14 | 1.96 | 32 |
| 9.16 | 30.5 | | | 8.96 | 30.7 | 11.96 | 27.7 | 4 | 0 | 39.66 | 1.98 | 33 |
| -2.88 | 48.6 | | | -2.98 | 48.7 | -4.78 | 50.5 | 3 | 0 | 45.72 | 2.29 | 34 |
| % | Section No. | % | Section No. | % | Section No. | % | Section No. | The Differences | | | | |
| 93.85% | 794 | 96.97% | 128 | 93.14% | 665 | 88.42% | 748 | % of PCI Difference Less | | | | |
| 6.15% | 52 | 3.03% | 4 | 6.86% | 49 | 11.58% | 98 | % of PCI Difference Less | | | | |
| 91.13% | 771 | 96.97% | 128 | 89.78% | 641 | 85.34% | 722 | % of PSI Difference Less | | | | |
| 8.87% | 75 | 3.03% | 4 | 10.22% | 73 | 14.66% | 124 | % of PSI Difference More | | | | |

الجدول رقم (16): يبين نتائج المقارنة والتحقق من دقة النماذج للطرق الرئيسية ومصداقيتها

| PCI =86.70+22.08*MT- 13.66*Age | PCI = 113.69 - 16.33 * Age | PCI = 83.69 - 12.84 * Age | PCI = 108.6 -19.4 * Age | Age | MT | PCI | PSI | No. | | |
|--------------------------------------|-------------------------------|------------------------------|----------------------------|--------|----------------|--------|----------------|----------------------------------|--|--|
| -0.18 | 32.06 | | 48.37 | -0.45 | 32.33 | 0.88 | 31.0 | 4 | | |
| -2.91 | 32.06 | | 48.37 | -3.18 | 32.33 | -1.85 | 31.0 | 4 | | |
| -8.64 | 32.06 | | 48.37 | -8.91 | 32.33 | -7.58 | 31.0 | 4 | | |
| % | Section No. | % | Section No. | % | Section No. | % | Section No. | The Differences | | |
| 94.19% | 146 | 83.33% | 10 | 95.80% | 137 | 91.61% | 142 | %of PCI Difference Less than 10 | | |
| 5.81% | 9 | 16.67% | 2 | 4.20% | 6 | 8.39% | 13 | %of PCI Difference Less than 20 | | |
| 96.13% | 149 | 83.33% | 10 | 93.71% | 134 | 93.55% | 145 | %of PSI Difference Less than 0.5 | | |
| 3.87% | 6 | 16.67% | 2 | 6.29% | 9 | 6.45% | 10 | of PSI Difference More than 0.5 | | |

الجدول رقم (17): يبين نتائج المقارنة والتحقق من دقة النماذج للطرق الثانوية ومصداقيتها

| PCI=86.7+22.08 *MT-13.66*Age | PCI =107.92- 14.08*Age | PCI =128.45- 25.07*Age | PCI =116.61- 19.97*Age | Age | MT | PCI | PSI | No. | | |
|---------------------------------|---------------------------|---------------------------|---------------------------|--------|----------------|--------|----------------|-----------------------------------|--|--|
| 19.28 | 45.72 | | 11.76 | 53.24 | 8.30 | 56.7 | 3 | 0 | | |
| 18.28 | 45.72 | | 10.76 | 53.24 | 7.30 | 56.7 | 3 | 0 | | |
| 4.28 | 45.72 | | -3.24 | 53.24 | -6.70 | 56.7 | 3 | 0 | | |
| % | Section No. | % | Section No. | % | Section No. | % | Section No. | The Differences | | |
| 84.87% | 129 | 97.96% | 96 | 85.19% | 46 | 74.34% | 113 | % of PCI Difference Less than 10 | | |
| 15.13% | 23 | 2.04% | 2 | 14.81% | 8 | 25.66% | 39 | % of PCI Difference Less than 20 | | |
| 84.21% | 128 | 87.76% | 86 | 83.33% | 45 | 70.39% | 107 | % of PSI Difference Less than 0.5 | | |
| 15.79% | 24 | 12.24% | 12 | 16.67% | 9 | 29.61% | 45 | % of PSI Difference More than 0.5 | | |

Structures.

8 - المراجع

9. Hassoun, B. Pavement Condition Evaluation and Maintenance Needs of Rural Roads in Syria" Master thesis Cairo University- 1996.
10. Helali, T.J. Kazmierowki, A Bradbury, and M.A. Karan, "Application of Network Level PMS Technology to a Unique Pavement Deterioration Problem", Transportation Research Board. 75th annual Meeting, Washington D.C., Jan., 1996.
11. HDM-4 User Guide Volume V 2000.
12. J. A. Prozzi, M.ASCE, and S. M. Madanat, M.ASCE, "Development of Pavement Performance Models by Combining Experimental and Field Data" JOURNAL OF INFRASTRUCTURE SYSTEMS, ASCE / MARCH 2004.
13. Kerali, A.J. Lawrance, and K.R. Awad, "Data analysis Procedures for Long Term Pavement Performance prediction", Transportation Research Board, 75th Annual Meeting, Washington D.C., Jan., 1996.
14. Leemis, L. M. Reliability, Probabilistic Models and Statistical Methods. Prentice-Hall, 1995.
15. Long-Term Pavement Performance (LTPP) Data Analysis Support: National Pooled Fund Study TPF-5(013), Publication No. FHWA-HRT-06-121, November 2006
16. Lt Col Abdul Hamid Mohd Isa, Law Tiek Hwa , Dadang Mohamed Ma some, "PAVEMENT PERFORMANCE MODEL FOR FEDERAL ROADS" Proceedings of the Eastern Asia Society for Transportation Studies, Vol. 5, pp. 428 - 440, 2005.
- المراجع العربية:
1. تقرير نماذج التباوأ بأداء الرصف، مشروع نظام إدارة الصيانة للطرق في مدينة الرياض، المملكة العربية السعودية، أمانة مدينة الرياض، 2007
 2. نظام معلومات الطرق، وزارة النقل السورية، المؤسسة العامة للمواصلات الطرقبية، سوريا - دمشق، 2008
 3. معلومات مسح وتقدير الطرق، المؤسسة العامة للمواصلات الطرقبية، فرع حمص، وزارة النقل، 2008
 4. معلومات من المديرية العامة للصيانة، وزارة النقل، المؤسسة العامة للمواصلات الطرقبية .2007
 5. قياسات بواسطة جهاز النيفو للباحث بمساعدة فرع حمص للمؤسسة العامة للمواصلات الطرقبية .2007
- المراجع الأجنبية:
6. Abdul Hamid, M. Isa, Law, T. H., Dadang, M. M., "Pavement Performance Model For Federal Roads" Proceedings of the Eastern Asia Society for Transportation Studies, Vol. 5, pp. 428 - 440, 2005.
 7. Al-Swailmi S., et al, "Riyadh Pavement Maintenance Management System", Progress report No. 2, 1996.
 8. American Association of State Highway and Transportation Officials. 1993. AASHTO Guide for Design of Pavement

17. Samer, M. Zaid, N. Nakul, S. "Development of Empirical-Mechanistic Pavement Performance Models using Data from the Washington State PMS Database" Final Report prepared for the California Department of Transportation through the Partnered Pavement Research Center Contract, PPRC Item 4.5 UC Pavement Research Center ,University of California, Davis and Berkeley UCPRC-RR-2005.
18. Sedat Gulen et al. (2001) Development of Improved Pavement Performance Model, Indiana Department of Transport.
19. The AASHTO Road Test: Report No. 5-Pavement Research, "Special Report No. 61E, Highway Research Board, National Academy of Science, National Research Council, 1962.